

## หินแกรนิตและแนวแร่: ตอนที่ 1- ภาคใต้ประเทศไทย

### Granites and Mineral Belts: I – Southern Thailand

อำนวยการส่งออกรุ่น<sup>1\*</sup>, วรกิจ ขาวจันทร์<sup>1</sup>, เอลิน สุขสวัสดิ์<sup>1</sup>, วิภาวี วิลัยสิทธิ์<sup>1</sup>, วิภาวี วิบูลย์อัฐพล<sup>1</sup>,  
นพวรรณ รัตนสันเทียะ<sup>1</sup>, ภรณ์ทิพย์ ก่อสินวัฒนา<sup>1</sup>, ธนช วัชรมัย<sup>1</sup>, และ ปัญญา จารุศิริ<sup>1,2</sup>

<sup>1</sup> กรมทรัพยากรธรณี กระทรวงทรัพยากรธรรมชาติและสิ่งแวดล้อม ถนนพระราม 6 เขตราชเทวี กทม.10400

<sup>2</sup> ศูนย์เชี่ยวชาญเฉพาะทางสัณฐานวิทยาพื้นผิวโลกและธรณีพิบัติภัยขั้นสูงในเอเชียตะวันออกเฉียงใต้ (MESA)

C/O ภาควิชาธรณีวิทยา คณะวิทยาศาสตร์ จุฬาลงกรณ์มหาวิทยาลัย 10330

\*ผู้รับผิดชอบบทความ: aumnuy0851345449@gmail.com

วันที่รับบทความ 14 มีนาคม 2567; วันที่แก้ไขบทความ 6 มิถุนายน 2567; วันที่ตอบรับบทความ 2 พฤศจิกายน 2567

Aumnuy Songurailam<sup>1</sup>, Vorakit Krawchan<sup>1</sup>, A-Lin Suksawat<sup>1</sup>, Wipawee Wilaisit<sup>1</sup> Wipavee  
Wiboonatthapol<sup>1</sup>, Noppawan Rutsunthia<sup>1</sup>, Pornthip Korsinwattana<sup>1</sup>, Thanaz Watcharamai<sup>1</sup>, and  
Punya Charusiri<sup>1,2</sup>

<sup>1</sup> Economic Geology Division, Department of Mineral Resources, Bangkok 10400 Thailand

<sup>2</sup> Morphology of Earth Surfaces and Advanced Geohazards Center of Excellence (MESA CE),  
Chulalongkorn University, Bangkok 10330 Thailand

\*Corresponding author: aumnuy0851345449@gmail.com

Received 14 March 2024; Revised 6 June 2024; Accepted 2 November 2024.

### บทคัดย่อ

หินแกรนิตที่ศึกษาในภาคใต้ของประเทศไทยแบ่งออกอย่างง่ายเป็น 3 แนว ได้แก่ แนวตะวันตก, แนวกลาง, และแนวตะวันออก ซึ่งทุกแนววางตัวในทิศเกือบเหนือ-ใต้ แนวแกรนิตเหล่านี้มีความยาวอย่างน้อย 2,800 กิโลเมตร และต่อเลยมาจากแนวแกรนิตหลักของประเทศและเอเชียตะวันออกเฉียงใต้ผืนแผ่นดินใหญ่โดยที่หินแกรนิตแนวตะวันออกปรากฏเป็นมวลหินแกรนิตห่อหุ้มเล็ก ๆ ทางใต้สุดของประเทศ และน่าจะต่อเนื่องมาจากแนวโค้งสุโขทัย และแนวโค้งเลย ส่วนแนวตะวันตก และตอนกลางน่าจะใกล้ชิดกับจุลทวีปผานไทย รายงานนี้มีวัตถุประสงค์เพื่อรวบรวมข้อมูลธรณีวิทยาของหินแกรนิตในภาคใต้การกระจายตัวของแหล่งแร่และแนวแร่และข้อมูลการสำรวจค่ากัมมันตรังสีและสภาพการซึมซับแม่เหล็กของหินแกรนิต ผลการศึกษาทำให้ทราบว่า หินแกรนิตมีทั้งที่เป็นหินเนื้อออกจนถึงหินเนื้อขนาดเดียวและมีสีเทาดำจนถึงออกสีขาวๆ ส่วนหินแกรนิตขาวมักพบในแนวตะวันตกมากกว่าแนวอื่น ๆ หินแกรนิตที่ศึกษาแบ่งย่อยอย่างง่าย ออกเป็น 2 ประเภทตามชนิดแร่ที่ปรากฏ ได้แก่ (1) หินแกรนิตฮอร์นเบลนด์-ไบโอไทต์และหินแกรนิตไบโอไทต์ซึ่งมักปรากฏในแนวตะวันออกโดยข้อมูลศิลาเคมีบ่งบอกว่าหินแกรนิตแนวนี้ส่วนใหญ่เป็นพวกหินแกรนิตอัคนีและหินแกรนิตชุดแมกนีไทต์ โดยวินิจฉัยว่ามีอายุประมาณ 280 - 222 ล้านปี และ (2) หินแกรนิตไบโอไทต์-มัสโคไวต์และหินแกรนิตไบโอไทต์ ซึ่งมักปรากฏในแนวตะวันตกและ แนวกลาง โดยข้อมูลศิลาเคมีบ่งบอกว่าหินแกรนิตทั้งสองแนวนี้ส่วนใหญ่เป็นพวกหินแกรนิตตะกอนและหินแกรนิตชุดอิลเมไนต์ นอกจากนี้ยังพบว่าหินแกรนิตทั้งสองแนวนี้ยังเกิดร่วมกับหินเพกมาไทต์และหินแอพลิตที่ให้แร่ และน่าจะมียุในช่วง 227 - 200 ล้านปี ส่วนหินแกรนิตแนวตะวันตกมักจำกัดอยู่ในช่วงอายุประมาณ 80 - 55 ล้านปี ขณะที่ หินแกรนิตแนวตะวันออกพบกระจายตัวไม่มากนัก เมื่อเทียบกับแนวตะวันตกและแนวกลาง อนึ่งผลจากข้อมูลในสนามและเศรษฐธรณีวิทยาพบว่าแนวแร่ที่รวบรวมส่วนใหญ่เป็นแนวดีบุก-ทังสแตน-ฮาตุหายาก ซึ่งวางตัวใกล้เคียงกับแนวตะวันตกและแนวกลาง ส่วนแนวตะวันออกไม่พบแนวแร่ดีบุก-ทังสแตนที่สำคัญ แต่มีแนวแร่ทองคำ-ทองแดงที่สัมพันธ์กับแนวแร่ตามแนวโค้งเลย นอกจากนี้ยังพบว่าหินแกรนิตไบโอไทต์-มัสโคไวต์ที่สัมพันธ์กับแหล่งแร่ดีบุก-ทังสแตน-ฮาตุหายากยังให้ค่าปริมาณธาตุกัมมันตรังสีและสภาพการซึมซับแม่เหล็ก

ในสนามที่แตกต่างจากหินแกรนิตฮอร์นเบลนด์-ไบโอไทต์ และหินไบโอไทต์อย่างมีนัยสำคัญซึ่งมีส่วนช่วยในการกำหนดขอบเขตแหล่งแร่และพื้นที่ศักยภาพเพื่อการทำเหมืองอีกด้วย

**คำสำคัญ:** หินแกรนิต, แแนวแร่, ภาคใต้ ประเทศไทย, ศีลาบรรณา, อายุ, สภาพการซึมซับแม่เหล็ก, ปริมาณธาตุกัมมันตรังสี

### Abstract

Granites under investigation in southern Thailand are divided into 3 belts, namely Eastern Belt, Central Belt, and Western Belt, and each belt lies approximately in the north-south direction. These granite belts with the overall length of at least 2,800 km form parts of the main granite belts of the country and Mainland Southeast Asia. The granites of the Eastern Belt occur as small plutons in the southernmost part of Thailand and perhaps extend from the Loei tectonic belt. The objectives of this research are to document geology of these granites, distribution of mineral deposits and belts, and results on magnetic susceptibility and radioactives of the studied granites. Field investigation shows that granites exhibit both equigranular and porphyritic textures. Both have blackish gray to white colours, and leucogranites are more common in the Western Belt. Two granite suites are classified based on mineralogical criteria, and they can be separated tectonically by the Pattanni Suture. The first suite is hornblende – biotite granites and biotite granites mainly occurring in the Eastern Belt. On the basis of petrochemical data, they belong to the I-type affinity and magnetite granite suites with the inferred ages of 280 - 222 Ma. The second type includes the biotite – muscovite granites and biotite granites which genetically belongs to the S-type affinity and ilmenite series. These granites occurred in the Central Belt occurring in 227 – 200 Ma and the Western Belt with the ages ranging from 80 to 55 Ma. Based on both field and economic geology data, the mineral belts identified belong to Sn-W-REE belt and lies within the Western and Central belts. Moreover, gold and copper mineral belt can also be identified and lies within the Eastern Belt and perhaps located within the Loei tectonic belt. Additionally, it is recognized that biotite - muscovite granites related to Sn – W mineral deposits invariably yield the higher contents of radioactive elements and lower contents of magnetic susceptibilities than the hornblende -biotite granites. This scenario can help to delineate more appropriate mineral zonation and potential mining areas within the region.

**Keywords:** Granites, Mineral belts, Southern Thailand, Petrography, Ages, Magnetic susceptibility, REE contents

## 1. บทนำ

หินแกรนิตในประเทศไทยแพร่กระจายตัวและพบอยู่อย่างมากมายในทั่วทุกภาคของประเทศยกเว้นเขตที่ราบสูงในภาคตะวันออกเฉียงเหนือเนื่องจากหินแกรนิตเป็นหินที่มีประโยชน์อย่างมากเพราะนอกจากใช้เป็นหินประดับ (dimension stone) เป็นแหล่งวัสดุก่อสร้าง (building stone) ที่สำคัญ และยังเป็นหินที่เกี่ยวข้องกับสินแร่ (ore-related rocks) มากมายหลายชนิดด้วยเหตุนี้จึงจำเป็นต้องศึกษาวิจัยหินแกรนิตของประเทศอย่างเป็นระบบในอดีตได้มีการศึกษาหินแกรนิตในหลายมิติทั้งทางธรณีวิทยา ศิลาเคมี อายุ และแหล่งแร่ (ดู Suensilpong, 1977, Lehman และ Mahawat, 1989, Nakapadungrat และคณะ, 1984, Charusiri และคณะ, 1992 a และ b, 1993, Sanematsu และคณะ, 2011) โดยการศึกษามุ่งเน้นไปที่ภาคต่าง ๆ ของประเทศแต่ทางภาคใต้ นับได้ว่ามีการศึกษาไม่มากนัก (ดู Putthapiban, 1984, Charusiri และคณะ, 2006, Cobbing และคณะ, 1992, Imai และคณะ, 2003, นราเมศวร์ ชีระรังสิกุล, 2517) ดังนั้นการศึกษานี้จึงมีวัตถุประสงค์เพื่อรวบรวมข้อมูลธรณีวิทยาหินแกรนิตในภาคใต้ ทั้งจากข้อมูลในอดีตและในครั้งนี้ รวมทั้งแสดงผลลักษณะเฉพาะของหินแกรนิต ได้แก่ ค่าสภาพการซึมซับแม่เหล็กและค่าความเข้มข้นของกำมะถันตรังสี ตลอดจนแนวทางการกำเนิดแหล่งแร่โดยอาศัยข้อมูลทั้งจากในสนาม ช่วง 2564-2565 และจากการศึกษาธรณีวิทยาหินอัคนีและแหล่งแร่ทางภาคใต้ของประเทศ

หินแกรนิตในประเทศไทยและข้างเคียง (รูป 1ก) แบ่งอย่างง่ายตามสภาพแวดล้อม

ทางธรณีวิทยา วิทยาหิน ธรณีกาลวิทยา เป็น 3 แนว ได้แก่ แนวตะวันออก (Eastern Belt), แนวกลาง (Central Belt), และแนวตะวันตก (Western Belt) (Hutchison, 1983; Charusiri และคณะ, 1993) ซึ่งทุกแนววางตัวในทิศเกือบเหนือ-ใต้ และขนานกันตั้งแต่ภาคเหนือลงมา ยังภาคกลางจนถึงภาคใต้ของประเทศ โดยส่วนเหนือของแนวหินแกรนิตต่อไปทางตะวันออกและตอนกลางของภูเขานาน ประเทศพม่า และทางใต้ของมณฑลยูนนาน ประเทศจีน ส่วนทางด้านใต้ของแนวหินแกรนิตต่อไปจนถึงเกาะบังกา-เกาะบิลิงตันของประเทศอินโดนีเซีย แนวแกรนิตนี้ยาวรวมอย่างน้อย 2,800 กม. และกว้างเกือบ 400 กม. (ดู Hosking, 1970, Schwartz และคณะ, 1995) แนวแกรนิตนี้หลายแนวสัมพันธ์กับแหล่งแร่ดีบุก บางครั้งจึงเรียกว่า แนวดีบุกเอเชียตะวันออกเฉียงใต้ (SE Asian Tin Belt, ดู Schwarty และคณะ, 1995) สำหรับในภาคใต้พบแนวแกรนิตหลักอยู่ 2 แนวคือแนวกลางและแนวตะวันตก โดยเริ่มตั้งแต่ จ. เพชรบุรี ไปจนถึง จ. ยะลา โดยที่แนวแกรนิตทั้งสองแนวยังคงวางตัวในแนวเหนือ-ใต้ ส่วนแนวตะวันออกพบอยู่ไม่มากนักและพบเป็นบริเวณแคบ ๆ ในแถบอ่าวไทยฝั่งตะวันตก และ จ. ยะลาฝั่งตะวันออก (รูป 1ก)

### 1. สภาพการแปรสัณฐานและการกำเนิดหินอัคนี

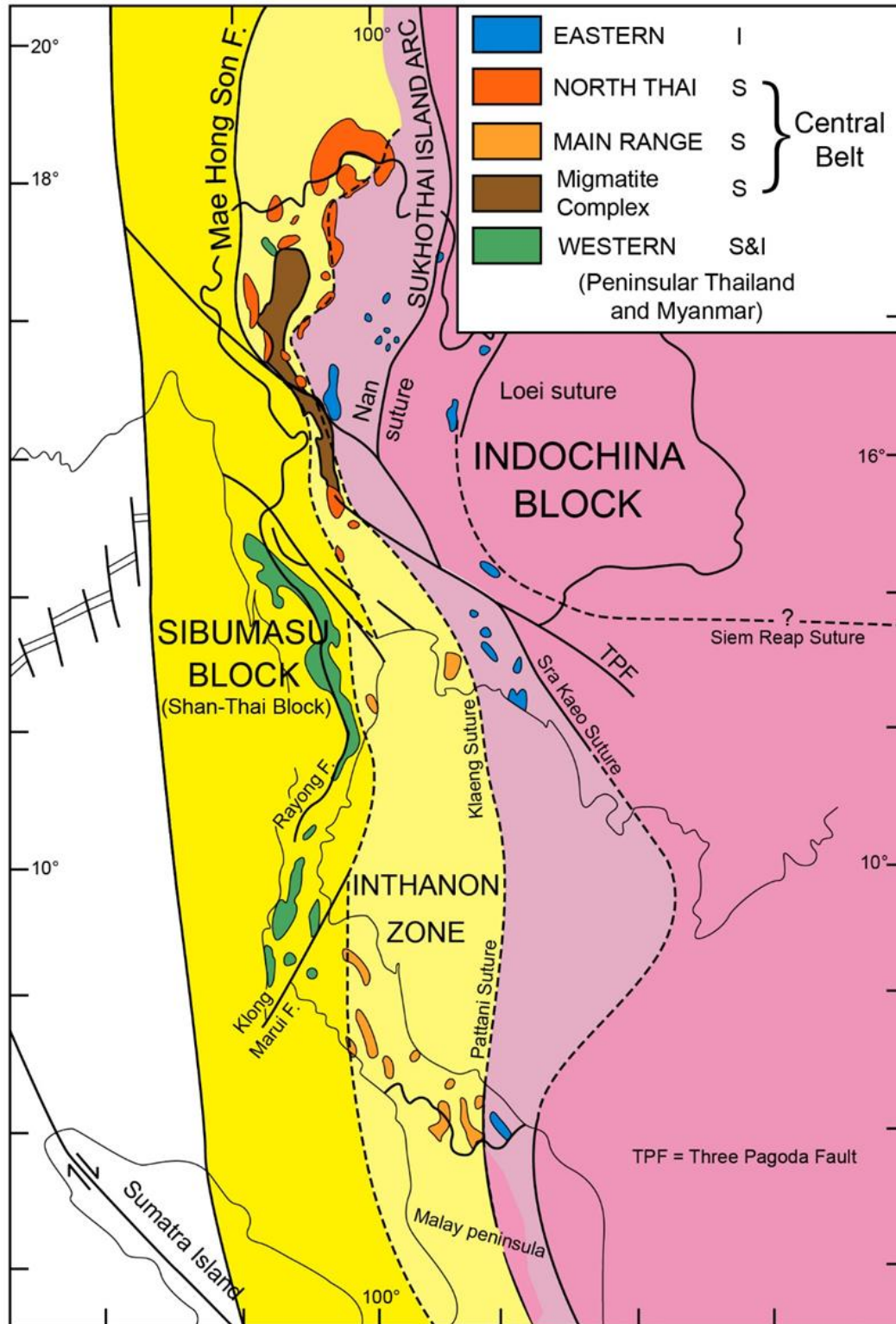
แนวแกรนิตภาคใต้ส่วนใหญ่จัดเป็นส่วนหนึ่งของจุลทวีปฉาน-ไทย (Shan Thai; Bunopas, 1981) หรือแผ่นไซบูมาสุ (Sibumasu; Matcalfe, 2002) และในเขตอินทนนท์ (Inthanon zone; Barr และ Macdonald, 1991) บ้างและมีส่วนน้อยทางตะวันออกสุดของภาคใต้ที่เป็น

แนวตะเข้ประหวางรอยโค้งสุโขทัย (Sukhothai Fold Belt; Bunopas, 1981) หรือแผ่นลำปาง-เชียงราย (Charusiri และคณะ, 2002) กับรอยโค้งเลย (Loei Fold Belt; Bunopas, 1981) หรือแผ่นครไทย (Charusiri และคณะ, 2002) (ดูรูป 1 ข) อย่างไรก็ตาม ที่สำคัญภาคใต้จัดเป็นภาคที่มีการกระจายตัวของแหล่งแร่ดีบุก-ทังสแตน มากที่สุด (Hutchison, 1975, Charusiri, 1989) รวมถึงแร่ธาตุหายาก (rare-earth elements หรือ REEs) ด้วยหินอัคนีภาคใต้ประกอบด้วยแนวแกรนิต 3 แนว (ดูรูป 1) ได้แก่ (1) *แนวตะวันตก* ตั้งแต่ราชบุรี-เพชรบุรี-ประจวบคีรีขันธ์-ชุมพรไปจนถึงระนอง-พังงา ภูเก็ต (2) *แนวกลาง* ตั้งแต่สุราษฎร์ธานี-นครศรีธรรมราช-ยะลา-นราธิวาส โดยต่อเลยไปยังทางเหนือของคาบสมุทรมลายูที่เรียก *แกรนิตเทือกหลัก* หรือ “Main Ranges Granites” (Hutchison, 1973, 1977) และ (3) *แนวตะวันออก* จำกัดเฉพาะที่ยะลา, นราธิวาส, และปัตตานี โดยที่แนวแกรนิตทางตะวันออกนี้แยกจากแกรนิตแนวกลางด้วยรอยตะเข้ปัตตานี (Pattani Suture, Charusiri และคณะ, 2002) ที่วางตัวเกือบเหนือ-ใต้ และเป็นส่วนที่ต่อมาจากรอยตะเข้เบนตง-รวบ (Bentong-Ruab Suture, Metcalfe, 2000) หรือ Bentong-Ruab ophiolite line, Hutchison, 1975) ของคาบสมุทรมลายู (Malay Peninsula) แนวตะวันออกของภาคใต้สอดคล้องกับแกรนิตคาบสมุทรมลายูตะวันออก (Eastern Malay Peninsula) ส่วนแนวแกรนิตตอนกลางแยกจากแนวตะวันตกด้วยรอยเลื่อนบางคราม-คลองมะรุ่ย (Bang Kram-Klong Marui fault zone) (รูป 1 ข) ที่วางตัวเกือบขนานกับรอย

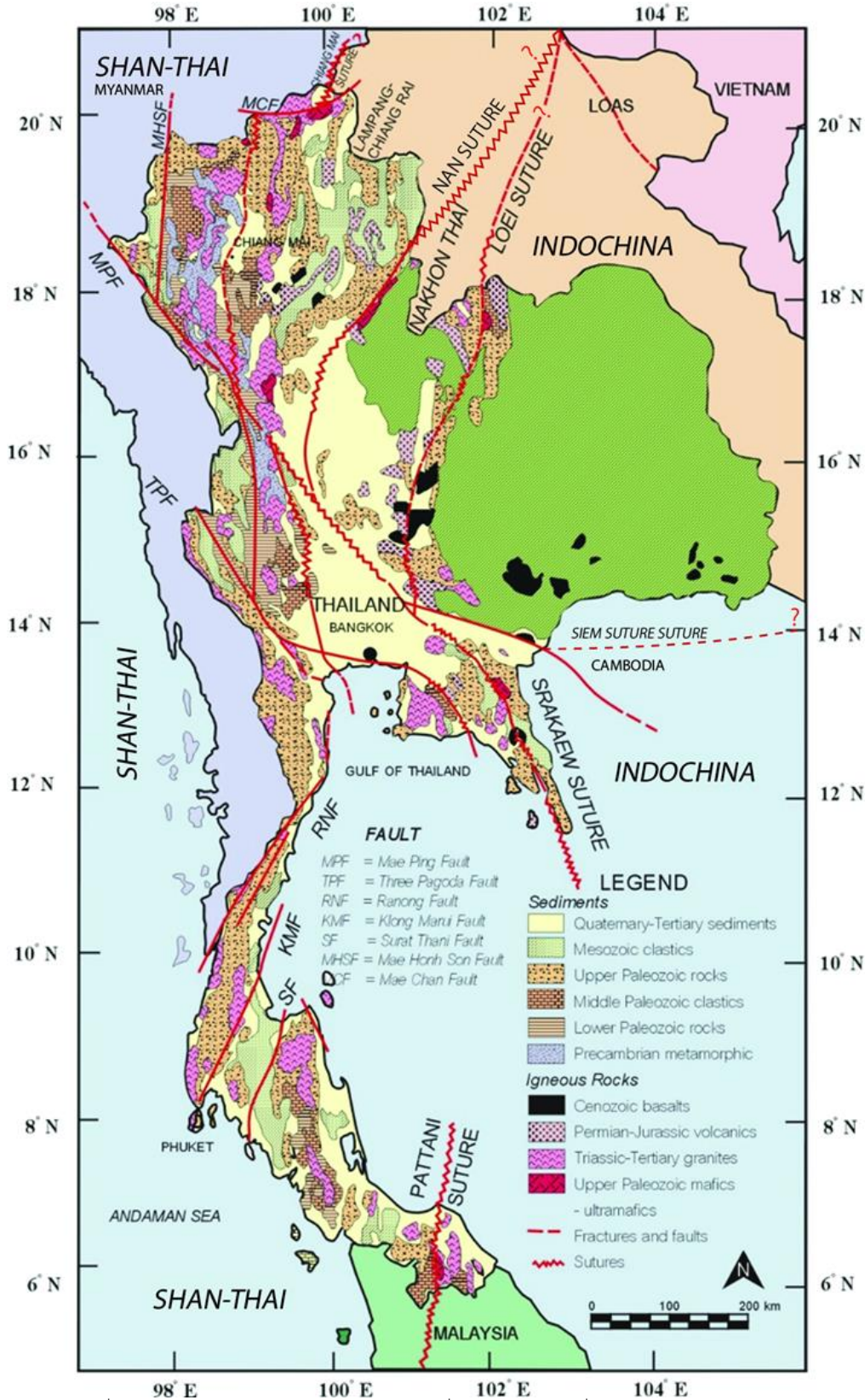
เลื่อนระนองและเชื่อมต่อกับรอยเลื่อนปราณบุรี-หัวหินที่อยู่ทางตอนเหนือของพื้นที่สำหรับแนวตะวันตกนี้ไม่ปรากฏว่าต่อเลยเข้าไปในมาเลเซีย แต่มีแนวโน้มว่าอาจต่อเลยไปยังทางตอนเหนือของเกาะสุมาตราฝั่งตะวันออก (Charusiri, 1989, Cobbing และคณะ, 1992 Pongsapich และคณะ, 1983)

แนวตะวันตกส่วนใหญ่แทรกดันหินตะกอน 2 ชนิด ได้แก่ หินปูนกลุ่มราชบุรีอายุประมาณยุคเพอร์เมียน และหินตะกอนเนื้อประสม (clastic rock) กลุ่มแก่งกระจาน ประมาณปลายยุคคาร์บอนิเฟอรัส – เพอร์เมียน ซึ่งหินแนวตะวันตก นอกจากแทรกตัวตัดผ่านหินตะกอนกลุ่มแก่งกระจานและกลุ่มราชบุรีแล้วยังแทรกตัดเข้าไปในกลุ่มหินที่แก่กว่าด้วย เช่น หินตะกอนกลุ่มตะรุเตา, หินปูนกลุ่มทุ่งสง, และหินตะกอนกลุ่มทองผาภูมิ เป็นต้น ส่วนแนวกลางแทรกดันเข้ามาในหินตะกอนหมวดยะหา (Yaha Fm.) ยุคคาร์บอนิเฟอรัส และหินตะกอนหมวดเบตง (Betong Fm.) อายุไซลูเรียน-ดีโวเนียน

อนึ่งแนวแกรนิตในภาคใต้ที่สามารถจัดกลุ่มได้เป็น 3 แนวนี้ (แนวตะวันตก แนวกลาง และแนวตะวันออก) โดยทั่วไปมีที่มาและการกำเนิดต่างกันโดยมีความสอดคล้องกับสภาพการแปรสัณฐานของไทย (ดูรูป 2, Charusiri และคณะ, 2002, ปัญญา จารุศิริ และคณะ, 2545) นอกจากหินแกรนิตแล้วยังมีหินอัคนีอีกชนิดซึ่งมักเกิดเป็นผนังหิน (dike) ถ้ามีสีจางจัดเป็นพวกหินคลา (เพกมาไทต์) มักพบในบริเวณใกล้กับแหล่งแร่ดีบุก-ทังสแตน แต่บางครั้งพบว่าผนังหินมีสีเข้มถึงเข้มจัด ที่เรียกหินแลมโพรไฟร์ (lamprophyre) ซึ่งเป็นหินอัคนีสีเข้มจัดที่มีโพแทสเซียมสูงมาก (ultrapotassic mafic igneous



รูปที่ 1ก: แผนที่แสดงการกระจายตัวของหินแกรนิตและแนวแกรนิตของประเทศไทยและข้างเคียง (ดัดแปลงจาก Charusiri และคณะ, 1993; Cobbing และคณะ, 1992)



รูป 1ข: แผนที่แสดงแผ่นทวีปผานไทย แผ่นอินโดจีน และแผ่นอื่นๆ ตลอดจนรอยเลื่อนหลักๆของประเทศไทย (ดัดแปลงจาก Charusiri และคณะ, 2002, ปัญญา จารุศิริ และคณะ, 2545)

rocks) และมักพบอยู่ทางแถบทะเลอันดามัน (ภูเก็ต-พังงา) ตามรายงานของ Garson และคณะ, (1975) เชื่อว่าพนักหินสีเข้มเหล่านี้ เกิดอยู่ตามรอยเลื่อนหลักๆ 2 รอย คือ รอยเลื่อนระนองและรอยเลื่อนคลองมะรุ่ย

## 2. วรรณกรรมปริทัศน์ (Literature Reviews)

ธรณีวิทยาทั่วไปของหินแกรนิตใน 3 จังหวัดภาคใต้ (ยะลา, นราธิวาส, และ ปัตตานี) สามารถหาได้จากอำนาจ สงอุไรล้ำ, (2559 ก, ข, และ ค, ตามลำดับ) ส่วนการศึกษา แนวแกรนิต (granite belts) ของไทยได้เริ่มมา อย่างยาวนาน นับตั้งแต่ต้นศตวรรษที่ 26 จนสามารถจัดแบ่งช่วงการศึกษาออกเป็น 3 ช่วงสมัย ได้แก่ *ช่วงสมัยแรก* นับตั้งแต่ พ.ศ. 2504 โดย ดร.โพยม อรรถนันทน์ที่ได้ศึกษาหิน แกรนิตและแหล่งแร่ดีบุกที่ จ.ระนอง และได้เรียกแหล่งแร่ดีบุกประเภทนี้ว่า *แหล่งแร่ ดีบุกแบบหาดส้มแป้น (Haad Som Pan Type)* (ดู Aranyaganon, 1962) ต่อมาใน พ.ศ. 2512 เกษตร พิทักษ์ไพรวลัย (กองธรณีวิทยา กรมทรัพยากรธรณี) ได้ศึกษาและ วิเคราะห์ข้อมูลจากศิลาวรรณนา (petrography) จนสามารถแยกแยะชนิดหินแกรนิต ในไทยออกเป็น 2 จำพวก คือ แกรนิตให้ดีบุก (tin-bearing granites) กับแกรนิตปราศจาก ดีบุก (tin-barren granites) (Pitakpaiwan, 1969) และไม่ได้มุ่งเน้น การคำนวณหาอายุหิน แกรนิต ดังนั้น การกำหนดอายุจึงต้องอาศัย ข้อมูลจากการวินิจฉัยในสนาม โดยเฉพาะจากการลำดับชั้นหิน หลังจากนั้นอีก ไม่นานนักธรณีวิทยาอังกฤษจึงได้เริ่มเข้ามาสำรวจหาอายุหินแกรนิตภาคใต้และภาคตะวันออก

ของไทย โดยวิธี K-Ar (Bignell, 1972, Bignell และ Snelling, 1977) เป็นครั้งแรก ต่อมา*ช่วงสมัยกลาง* ตั้งแต่ พ.ศ. 2518 – 2532 เป็นช่วงต้นการศึกษาธรณีเคมีและการกำหนด อายุหินอย่างจริงจังโดยเริ่มจากวิธีการหาอายุด้วย Rb-Sr จากหินทั้งก้อนที่ จังหวัดตาก หรือที่เรียกหินแกรนิตตาก (Tak Granite, Teggling, 1975), แกรนิตสะเมิง (Samoeng Granite, Punyaprasidth, 1980) จ.เชียงใหม่ และในหินแกรนิตภาคใต้ ได้เน้นการศึกษา อายุหินแกรนิตซึ่งเกี่ยวข้องกับแหล่งแร่ดีบุก- -ทั้งสแตน โดย Garson และคณะ (1978) ,Asnachinda (1978), และ Beckinsale และ คณะ (1979) ซึ่งในตอนนั้น ดร.สนาม สวนศิลป์ พงศ์ (ภายใต้โครงการวิจัย และวัดอายุหินแกรนิต, กองธรณีวิทยา, กรมทรัพยากรธรณี) เป็นผู้บุกเบิกการศึกษาหิน แกรนิตและแหล่งแร่ที่เกี่ยวข้อง ภายใต้ โครงการศึกษาวิจัยอายุหินแกรนิตในประเทศไทย ในปี พ.ศ.2523 ของกรมทรัพยากรธรณี ซึ่งโครงการนี้ต่อจากโครงการศึกษาวิจัยแนว ดีบุกในเขตทะเลอันดามันของกรมทรัพยากร ธรณีอังกฤษ (British Geological Survey) (Garson และคณะ, 1978) จนช่วงสุดท้าย ของสมัยยุคกลางจึงได้มีการศึกษาหินแกรนิตและ การหาอายุของหินแกรนิตอย่างละเอียดใน ภาคใต้ โดยกลุ่มนักธรณีวิทยาไทย อาทิ ปริญา พุทธาภิบาล (ดู Putthapiban & Suensilpong, 1979, Putthapiban, 1984), สมชาย นาคะ -พดุงรัตน์ (ดู Nakhapadungrat, 1982) และปัญญา จารุศิริ (ดู Charusiri, 1989) ร่วมกับนักธรณีวิทยาทั้งไทยและต่างประเทศ (เช่น Beckinsale และคณะ, 1979, Charusiri

และคณะ, 1993, Ishihara และคณะ, 2008, Pitfield, 1988, เป็นต้น)

ช่วงสมัยหลัง คือนับตั้งแต่ปี พ.ศ. 2533 การศึกษาวิจัยหินแกรนิตได้ลงไปถึงระดับการวิเคราะห์ธาตุหายากในหินและการหาอายุโดยวิธี U-Pb จากเซอร์คอนและโมนาไซต์ (Hansen และคณะ, 2011) โดยข้อมูลที่สำคัญทางใต้อาจมาจากนักธรณีวิทยาจากหลายค่าย เช่น Kawakami และคณะ (2008, 2014) จากประเทศญี่ปุ่น, Kanjanapayont และคณะ (2012 a และ b, 2013) จากประเทศออสเตรเลีย, Lin และคณะ, (2013) และ Dew และคณะ (2018) จากประเทศอังกฤษ เป็นต้น และทุกคณะมักมีนักธรณีวิทยาไทยหลายคนร่วมวิจัยด้วย

### 3. การกระจายตัวและวิทยาหิน

ผลการศึกษานี้เราได้กำหนดให้ขอบเขตการศึกษาของหินแกรนิตภาคใต้โดยอาศัยข้อมูลจากในสนาม และเริ่มตั้งแต่จ.เพชรบุรี ให้เป็นพื้นที่ตอนเหนือประมาณเส้นรุ้ง (latitude) ที่  $13.3^{\circ}$  เหนือ (รูป 2) ที่อ.เขาย้อยจนถึงใต้สุดคือที่ อ.เบตงจ.ยะลา เป็นพื้นที่ตอนใต้ (รูป 3) แนวนี้ต่อเลยจากไทย (ที่เส้นรุ้ง  $5.7^{\circ}$  เหนือ) ไปยังประเทศมาเลเซีย โดยผลการศึกษา พอแยกอธิบายได้ดังนี้

#### 3.1 แนวกลาง

แนวกลางแบ่งอย่างง่ายเป็น 2 เขต ได้แก่ เขตตะวันออกและเขตตะวันตก ซึ่งแกรนิตเขตตะวันออกประกอบด้วยแกรนิตสงขลา (Songkhla Granite), แกรนิตปัตตานี (Pattani Granite), แกรนิตปะนาเระ (Pa Na Re Granite), แกรนิตกือลอง (Ku Long Granite),

และแกรนิตรือเสาะ (Ruso Granite) (รูป 3) ส่วนแกรนิตเขตตะวันตกประกอบด้วยแกรนิตหุบกะพง (Hub Krapong) (รูป 2), แกรนิตเขาหลวง-เกาะสมุย (Kho Samui Granite), แกรนิตเขากะช่อง-สตูล (Khao Kachong – Satun Granite) (รูป 3)

#### แนวกลางเขตตะวันตกมีรายละเอียดดังนี้

(1) แกรนิตหุบกะพง เป็นมวลหินแกรนิตทางเหนือสุดของหินแกรนิตภาคใต้และของแนวกลางเขตตะวันตกซึ่งครอบคลุมพื้นที่ตั้งแต่ชะอำ-หัวหิน-ปราณบุรี และอยู่ห่างจากกรุงเทพฯ ไปทางใต้ประมาณ 150 กม. ยาวประมาณ 50 กม. และกว้างตั้งแต่ 5-10 กม. โดยวางตัวในแนวทิศเกือบเหนือใต้ในทางธรณีแปรสัณฐานของแกรนิตหุบกะพงตั้งอยู่ระหว่างส่วนต่อทางใต้สุดของแขนงรอยเลื่อนเจดีย์สามองค์ (Three Pagoda fault sprays) ที่แตกย่อยมาจากรอยเลื่อนหลักเจดีย์สามองค์กับทางส่วนปลายด้านเหนือสุดของรอยเลื่อนระนอง (Ranong Fault) โดยผลการศึกษาของ Putthapiban และ Suensilpong, (1978) และ Cobbing และคณะ (1992) ทำให้พอสรุปได้ว่าหินแกรนิตหุบกะพงแบ่งย่อยเป็น 2 หน่วย (unit) ตามการกระจายตัวคือหน่วยหุบกะพง ซึ่งเป็นหินแกรนิตไร้ริ้วขนาน (non-foliated granites) ที่ส่วนใหญ่มีเนื้อสมำ-เสมอแต่บางครั้งก็แสดงเนื้อดอก (porphyritic texture) บ้าง เช่น หินแกรนิตไบโอไทต์ (±มีสโคไวต์) และปรากฏเป็นมวลเล็ก ๆ ทางตะวันตก โดยเกิดสัมพันธ์กับแหล่งแร่ดีบุกในสายควอตซ์ ลึกลงไปในหุบเขาส่วนอีกพวกคือ หน่วยหัวหิน ซึ่งปรากฏทาง

ตะวันออกจนติดกับชายฝั่งอ่าวไทยและจัดเป็นแกรนิตรีฟานาน (foliated granites) จนถึงหินแกรนิตไนส์ (gneissic granite) ชัดเจน ซึ่งประกอบด้วยหินแกรนิต ไบโอไทต์ไนส์ เนื้อลายดอก-เนื้อหยาบมาก และหินแกรนิตไบโอไทต์ไนส์ เนื้อสม่ำเสมอจนถึงเนื้อลายดอกบ้าง และต่อเลยไปทางใต้แถบปราณบุรี ข้อมูลในสนามทำให้ทราบว่าหินแกรนิตหวัหินสัมพันธ์กับหินไนส์-หินชีสต์ที่แสดงการเปลี่ยนแปลงลักษณะ (deformation) รุนแรงและชัดเจนในแนวเหนือ-ใต้ โดยเฉพาะตามและขนานกับระบบรอยเลื่อนปราณบุรี-หวัหิน (Hua Hin-Pranburi fault system, ดู Tulyatid, 1991)

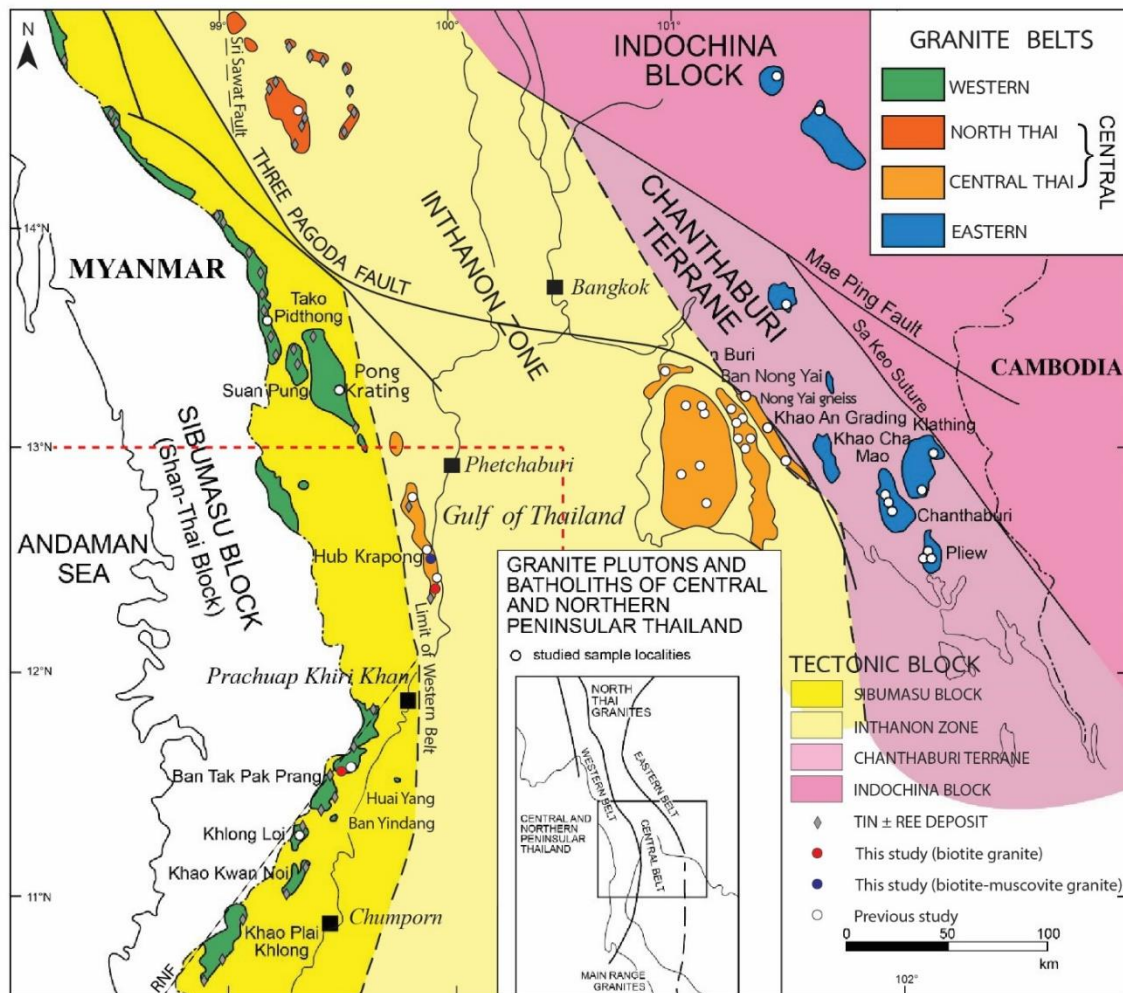
(2) *แกรนิตเขาหลวง-เกาะสมุย* เป็นมวลแกรนิตขนาดใหญ่มาก (granite batholith) ของแกรนิตแนวกลางเขตตะวันตก และเมื่อรวมกับแกรนิตเขาพะช่องจึงเรียกรวมว่า *แกรนิตนครศรีธรรมราช (Nakhon Si Thammarat Granite)* โดยวางตัวในแนวเกือบเหนือใต้ ซึ่งมีความยาวประมาณ 100 กม. และมีความกว้างเกือบ 25 กม. มวลแกรนิตแห่งนี้พบอยู่ทางตะวันออกเฉียงใต้ ของจังหวัดสุราษฎร์ธานี และทางตะวันตกของจังหวัดนครศรีธรรมราช ห่างจากกรุงเทพฯ ประมาณ 750 กิโลเมตร ประกอบด้วยหินแกรนิต 3 ชนิด (Ishihara และคณะ, 1983 และการศึกษานี้) ได้แก่ หินแกรนิตไบโอไทต์ เนื้อหยาบ และมีเนื้อดอก, หินแกรนิตไบโอไทต์-มัสโคไวต์ เนื้อหยาบปานกลาง และสม่ำเสมอ และหินแกรนิตขาว (leucogranite) เนื้อขนาดเดี่ยวส่วน Pitfield (1988) ได้แบ่งมวลแกรนิตเขาหลวงออกเป็น 4 พื้นที่ตามการกระจายตัวทางภูมิศาสตร์ ได้แก่

(1) *ทางตอนใต้ของมวลแกรนิตเขาหลวง* ได้แก่

แกรนิตเขาวัว (Khao Nhwa) หรือเรียกอีกชื่อว่าแกรนิตบ้านนารอบ, (2) *ทางตอนกลางถึงทางตะวันออกของมวลแกรนิตเขาหลวง* ได้แก่แกรนิตยอดหลวง (Yod Luang) (3) *ทางตะวันตกของมวลแกรนิตเขาหลวง* ได้แก่แกรนิตบ้านนาสาร (Na San) และ (4) *ทางตอนเหนือของมวลแกรนิตเขาหลวง* ได้แก่แกรนิตยอดน้ำ (Yod Nam) ส่วนทางตอนเหนือของมวลแกรนิตเขาหลวงต่อเลยไปถึงเกาะสมุย-เกาะพะงัน ซึ่งหินแกรนิตทั้งหมดมีองค์ประกอบของแร่คล้ายกันคือ เป็นหินแกรนิตไบโอไทต์-มัสโคไวต์ (Two-Mica Granite) ยกเว้นแกรนิตยอดหลวงที่แสดงการเปลี่ยนแปลงลักษณะแตกหักบดอัดรุนแรงมาก (strongly cataclastic deformation) แกรนิตเกาะสมุยแผ่กระจายตัวในเกาะสมุย เกาะพะงัน และฝั่งแผ่นดินใหญ่ที่ถัดจากเกาะสมุยลงมาทางใต้ (วรกิจ ขาวจันทร์ และ สันติ ลีวงศ์เจริญ, 2549) แบ่งออกเป็น 3 ชนิด คือ (ก) หินแกรนิตไบโอไทต์เนื้อดอก (prophyritic biotite granite) พบแผ่กระจายทางเขาด้านตะวันออก ชายฝั่งด้านตะวันตกเฉียงเหนือบนเกาะพะงัน และทางตะวันออกของเกาะสมุย มีเนื้อพื้นขนาดปานกลางถึงหยาบ (2- 8 มม.) แร่ดอกเฟลด์สปาร์ขนาดเฉลี่ย ประมาณ 1x2 ซม. (ข) หินแกรนิตไบโอไทต์เนื้อขนาดเดี่ยว (equigranular biotite granite) แผ่กระจายบริเวณตอนกลางและอ่าวด้านเหนือของเกาะพะงัน เทือกเขาด้านเหนือของเกาะสมุย และอ.ขนอม จ.นครศรีธรรมราช ขนาดผลึกปานกลาง ส่วนตะวันตกของเกาะพะงันพบทั้งที่มีไบโอไทต์เด่นและไบโอไทต์-มัสโคไวต์เนื้อดอก, (ค) หินแกรนิตขาว (leuco-

granite) พบแผ่กระจายทางใต้ของเกาะสมุย และ อ.สีชล จ.นครศรีธรรมราชส่วนใหญ่แสดงเนื้อ ขนาดเดียวผลึกละเอียดถึงปานกลาง วรกิจ ขาวจันทร์ และ สันติ ลีวงศ์เจริญ (2549) ได้วินิจฉัยว่าแกรนิตเกาะสมุยน่าจะเกิด และแทรกดันขึ้นมาในยุคไทรแอสซิก (3) แกรนิตเขากะช่อง-สตูล แกรนิตเขากะช่อง เป็นมวลแกรนิตแนวกลางเขตตะวันตกที่ยาวถึง 120 กม และกว้าง 15 กม ต่อลงมาจากเทือก แกรนิตเขาหลวง วางตัวในแนวเกือบตะวันตกเฉียง

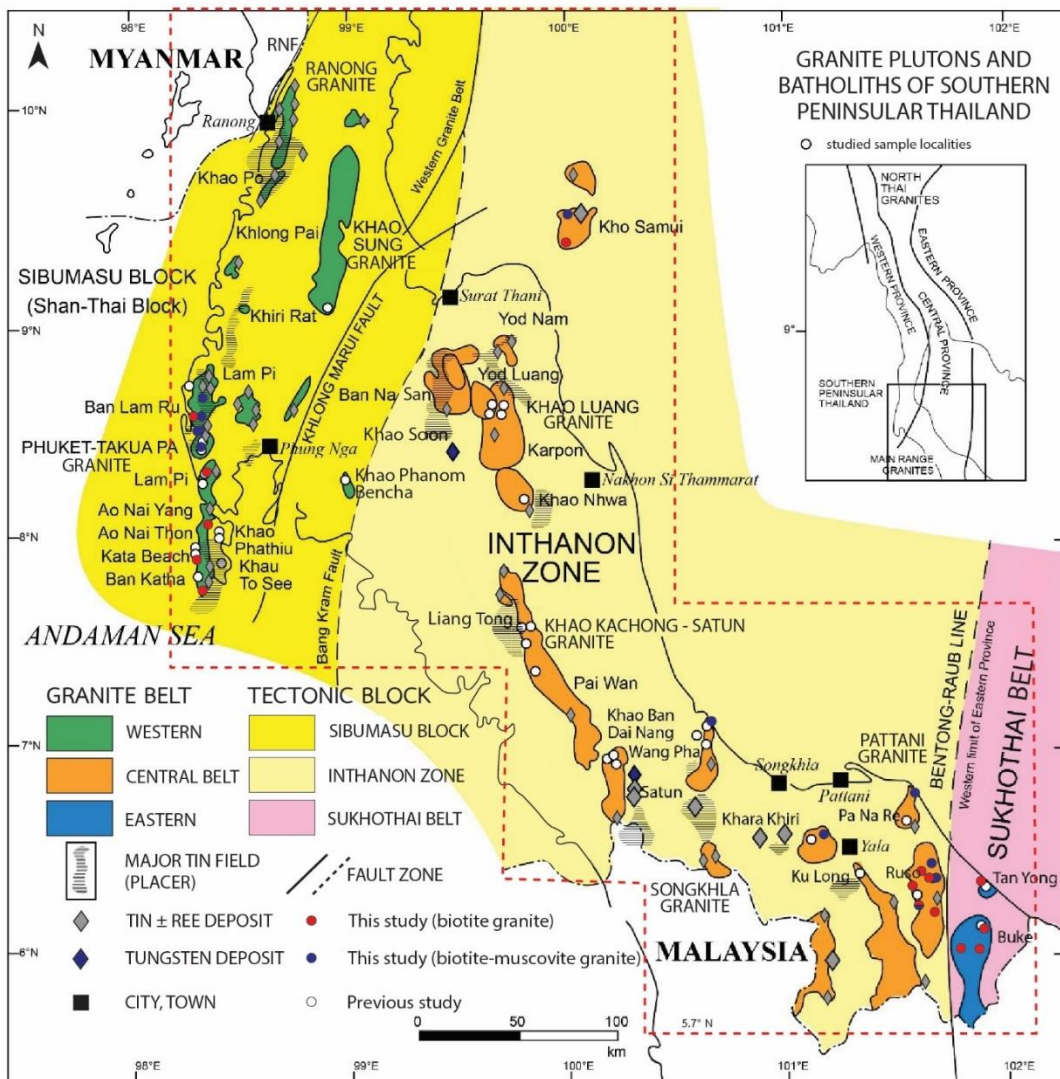
เหนือ-ตะวันออกเฉียงใต้ อยู่ระหว่าง จ.พัทลุง และ จ.ตรัง ต่อเนื่องไปยังแกรนิตสตูลไปทางใต้ จรดเทือกเขาแกรนิตที่เรียกมวลหินแกรนิต เทือกหลัก (Main Range Batholith) ในมาเลเซีย (Ghani, 2009, Ghani และคณะ, 2013, และ 2014 และ Cobbing และคณะ, 1992) และใต้ จัดแบ่ง เป็น 2 มวลย่อยตามการกระจายตัว ได้แก่ (1) แกรนิตเลียงทอง (Liang Tong Granite) อยู่ทางส่วนเหนือของมวลแกรนิต กระช่อง ส่วนใหญ่เป็นหินแกรนิตไบโอไทต์เนื้อหยาบที่



รูปที่ 2: แผนที่แสดงการกระจายตัวของหินแกรนิตในคาบสมุทรไทยตอนบน (upper peninsula of Thailand) และภาคตะวันออกเฉียงเหนือรวมทั้งแนวแกรนิตทั้งสามแนว (ดัดแปลงจาก Ishihara และคณะ, 1984, Pitfield, 1988, Charusiri และคณะ 1993, Cobbing และคณะ, 1992) วงกลมสีขาว = ตำแหน่งตัวอย่างที่เก็บศึกษาก่อนหน้านี้ และวงกลมสีแดงและสีน้ำเงิน = ตำแหน่งตัวอย่างที่เก็บศึกษาในครั้งนี้

เปลี่ยนไปเป็นหินแกรนิตเนื้อละเอียดมาก (microgranite) ทางตะวันตกเฉียงเหนือ และ (2) แกรนิตไพวัลย์ (Pai Wan Granite) เป็นหินแกรนิตสีออกขาวๆ เนื้อสม่ำเสมอจนถึงเนื้อดอก ส่วนแกรนิตสตูล (Satun Granite, รูป 3) เป็นมวลแกรนิตที่ต่อมาจากแกรนิตเขากะช่องโดยวางตัวในแนวเกือบเหนือ-ใต้ ยาวประมาณ 25 กม. และกว้าง 10 กม. และ

และต่อเลยไปทางใต้แถบปะดงเบซา ในรัฐปะลิส ประเทศมาเลเซียส่วนใหญ่เป็นแกรนิตไบโอไทด์-มัสโคไวต์เนื้อดอก เนื้อพื้นหยาบในทางตะวันตก ส่วนทางด้านตะวันออกหินแกรนิตมีสีจางกว่าจนเกือบเป็นแกรนิตขาว และมีแร่มัสโคไวต์เป็นองค์ประกอบ (muscovite-bearing leucogranite)



รูปที่ 3: แผนที่แสดงการกระจายตัวของหินแกรนิตในคาบสมุทรไทยตอนล่าง (lower peninsula of Thailand) และภาคตะวันออก รวมทั้งแนวแกรนิตทั้งสามแนว (ดัดแปลงจาก Ishihara และคณะ, 1984, Pitfield, 1988, Charusiri และคณะ 1993, Cobbing และคณะ, 1992) วงกลมสีขาว = ตำแหน่งตัวอย่างที่เก็บศึกษาก่อนหน้า และวงกลมสีแดงและสีน้ำเงิน = ตำแหน่งตัวอย่างที่เก็บศึกษาในครั้งนี้

### แนวกลางเขตตะวันออกมีรายละเอียดดังนี้

(1) *แกรนิตสงขลา* เป็นมวลแกรนิตแนวกลางเขตตะวันออกที่วางตัวในแนวเหนือใต้ขนานกับแกรนิตสตูลแต่อยู่ทางชายฝั่งอ่าวไทย ยาวเกือบ 40 กม. และกว้าง 5-10 กม. หินแกรนิตสงขลาประกอบด้วยหินแกรนิตไบโอไทต์ เนื้อหยาบจนถึงเนื้อดอกสีขาวจนถึงขาวเทา ไปทางตะวันตกของอ.เมืองสงขลา หินแกรนิตเปลี่ยนไปเป็นหินแกรนิตไบโอไทต์-มัสโคไวต์

(2) *แกรนิตปัตตานี* ประกอบด้วยมวลแกรนิตเป็นกลุ่มๆ ที่สำคัญคือแกรนิตสะบาย้อย (Saba Yoi Granite) อยู่ในเขต อ.สะบาย้อย จ.สงขลา และในเขตอุทยานแห่งชาติสันกาลาคีรี มวลหินมีขนาดเล็กเกือบกลม เส้นผ่านศูนย์กลางประมาณ 10 กม. แกรนิตปัตตานี (Pattani Granite) หรือเรียกอีกชื่อว่าแกรนิตกาลาคีรี (Kala Khiri Granite) ตั้งอยู่ระหว่าง 3 จังหวัด คือยะลา, ปัตตานี และสงขลา โดยห่างจาก อ.หาดใหญ่ประมาณ 110 กม. ทางตะวันออกเฉียงใต้ ส่วนใหญ่เป็นแกรนิตเนื้อดอกสีขาว เนื้อพื้นหยาบ ตอนกลางเป็นหินแกรนิตเนื้อพื้นละเอียด (microgranite) และเป็นที่ตั้งของแหล่งดีบุกหลายแหล่งในอดีต

(3) *แกรนิตปะนาเระ* ในจังหวัดปัตตานี อยู่ทางทิศตะวันออกเฉียงเหนือของแกรนิตปัตตานี (Pattani Granite) ห่างจาก อ.หาดใหญ่ไปทางทิศตะวันออก 140 กม. เป็นมวลขนาดเล็ก ยาว 20 กม. และกว้าง 5 กม. ส่วนใหญ่เป็นหินแกรนิตไบโอไทต์-มัสโคไวต์ ผลึกหยาบสีออกเทา ๆ

(4) *แกรนิตก้อลอง* เป็นมวลแกรนิตที่ต่อลงจากแกรนิตปัตตานี (Pattani Granite) ไปทางใต้จรดมาเลเซีย ยาว 100 กม. กว้าง 15 กม. อยู่ห่างจาก อ.หาดใหญ่ ไปทางตะวันออกเฉียงใต้ ประมาณ 100 กม. และอยู่ทางใต้ของเมืองยะลาประมาณ 20 กม. จัดเป็นมวลแกรนิตที่มีความหลากหลายมาก โดยมีเนื้อหินแบบรี้วขนานและไร้วัขนาน ส่วนใหญ่มีเนื้อหยาบปานกลาง และเนื้อขนาดเดียว (equigranular) เป็นแกรนิตไบโอไทต์-มัสโคไวต์ ที่แปรเปลี่ยนไปเป็นแกรนิตมัสโคไวต์-ทัวร์มาลีน

(5) *แกรนิตรือเสาะ* เป็นมวลแกรนิตที่อยู่ทางตะวันออกเฉียงเหนือของแกรนิตก้อลอง ในเขต อ.รือเสาะ จ.นราธิวาส เป็นมวลแกรนิตที่วางตัวในแนวเหนือ-ใต้ ทางตะวันออกเฉียงใต้กับตะเข็บปัตตานี (Pattani Suture) ยาวประมาณ 70 กม. และกว้างประมาณ 25 กม. แกรนิตรือเสาะประกอบด้วยหินแกรนิตที่ต่างกัน 2 พวก ได้แก่ (1) แกรนิตลาโละ (La Lo Granite) เป็นหินแกรนิตไบโอไทต์-มัสโคไวต์ เนื้อดอก เนื้อพื้นหยาบ โดยขอบ ๆ เป็นแกรนิตมัสโคไวต์ และ (2) แกรนิตกาลิซา (Kalisa Granite) เป็นแกรนิตไบโอไทต์ เนื้อขนาดเดียว ผลึกหยาบปานกลาง (Cobbing และคณะ, 1992)

### 3.2 แกรนิตตะวันออก (Eastern Granite Belt, รูป 2)

หินแกรนิตนี้เป็นมวลขนาดเล็กที่ต่อเลยไปทางใต้ของคาบสมุทรมลายูตะวันออกเฉียงเหนือ (Eastern Malay Peninsula) ในที่นี้เรียกว่าแกรนิตนราธิวาส (Narathiwat Granite) ประกอบด้วยแกรนิตที่สำคัญ 2 แนวคือแกรนิตตันหยงและแกรนิตบูคี

(ก) แกรนิตตันหยง (Tanyong Granite, รูป 3) อยู่ทางตะวันออกของรอยตะเข็บปัตตานีและอยู่ติดทะเลอ่าวไทย เป็นมวลแกรนิตกลม ๆ ขนาดเล็ก รัศมีไม่เกิน 2 กิโลเมตร ใกล้กับตำหนักทักษิณราชินีเวศน์ อ.เมือง จ.นราธิวาส ซึ่งเป็นหินแกรนิตไบโอไทต์เนื้อดอก เนื้อพื้นหยาบมาก ประกอบด้วยหินแกรนิต 2 หน่วย ได้แก่ หน่วยทักษิณ (Tak Sin) ทางตอนเหนือตำหนัก และหน่วยเขานาคา ทางตอนใต้ ซึ่งเป็นหินแกรนิตไบโอไทต์-มีส์โคไวต์ เนื้อละเอียด และมีผลึกดอกเฟลด์สปาร์

(ข) แกรนิตบุคี (Buke Granite) / สุกิริน (Sukirin Granite, รูป 3) ปรากฏอยู่ทางใต้ต่อเลยจากแกรนิตตันหยง และตั้งอยู่ระหว่างอ.สุไหงปาดี และอ.สุคิริน จ.นราธิวาส ไปจนถึงพรหมแดนไทย-มาเลเซีย โดยมีความยาวเกือบ 50 กม. และความกว้าง 15 กม. สามารถแบ่งย่อยเป็น 2 หน่วย คือ (1) หน่วยฉัตรวาริน (Chatwarin) ทางด้านเหนือเป็นแกรนิตไบโอไทต์ เนื้อหยาบมาก และมีมวลแปลกปลอมไบโอไทต์ (inclusion) และ (2) หน่วยไอบ่อง (Ibong) ทางด้านใต้เป็นแกรนิตไบโอไทต์-ฮอร์นเบลนด์ เนื้อละเอียด

### 3.3 แกรนิตแนวตะวันตก (Western Granite Belt, รูป 2 และ 3)

แนวตะวันตกซึ่งในที่นี้เรียก แกรนิตอันดามัน (Andaman Granites) ปรากฏในพม่ามากกว่าในไทย โดยเริ่มจากเกาะภูเก็ตทางใต้สุดต่อเลยไปทางเหนือถึง จ.พังงา และจ.ระนอง และผ่านรอยเลื่อนระนองเข้าไปในภาคใต้ของพม่า (เมืองทวาย-มะริด

หรือเมอร์กุย-Mergui ) และต่อเลยไปทางตะวันตกของไทย จนสุดบริเวณแนวรอยเลื่อนเจดีย์สามองค์ ใน จ.กาญจนบุรี โดยมีรายละเอียดดังนี้

(1) แนวแกรนิตภูเก็ต-พังงา (Phuket-Phang Nga Granite, รูป 3) มีความสำคัญมากในอดีตเพราะมีความสัมพันธ์ในแง่การเกิดกับแหล่งแร่ดีบุก-ทังสแตน มวลแกรนิตนี้วางตัวในแนวเหนือ-ใต้ ยาวประมาณ 100 กม. และกว้าง 10-15 กม. ส่วนใหญ่เป็นหินแกรนิตไบโอไทต์ ที่ในหลายบริเวณมีมีส์โคไวต์และทัวร์มาลีน เช่นที่พบโดยรอบแอ่งหุบเขาอำเภอกะทู้ และบางแห่งเป็นหินแกรนิตแอมฟีโบล (ฮอร์นเบลนด์) โดยไม่มีมีส์โคไวต์และทัวร์มาลีน ทำให้เราทราบว่ามวลแกรนิตบนเกาะภูเก็ตและพังงาบางมวลไม่สัมพันธ์กับการเกิดดีบุก-ทังสแตน และธาตุหายาก เช่นแกรนิตอ่าวในยางและแกรนิตเขาประทิว (ภูเก็ต) นอกจากนี้ยังได้จัดให้แกรนิตเขาพนมเบญจา ซึ่งอยู่ทางตะวันตกติดกับรอยเลื่อนบางคราม จ.กระบี่ก็จัดอยู่ในแนวแกรนิตนี้

(2) แกรนิตเขาสูง (Khao Sung Granite, รูป 3) เป็นมวลแกรนิตแนวยาวในทิศเหนือ-ใต้ มีความกว้างเฉลี่ย 15 กม. และความยาวเกือบ 80 กม. แต่พบว่าหินแกรนิตที่โผล่มีไม่มาก Cobbing (1991) ได้จัดแบ่งเป็น 2 หน่วย คือ (1) มวลคีรีรัฐนิคมทางใต้ เป็นแกรนิตฮอร์น-เบลนด์-ไบโอไทต์ ผลึกปานกลาง เนื้อดอกบ้าง และ (2) มวลคลองปายทางเหนือเป็นแกรนิตไบโอไทต์-มีส์โคไวต์ ผลึกปานกลาง แต่มีสีขาวกว่าและมีเนื้อดอกบ้าง เช่นน้ำตกคลองเงิน ต.พระรักษ์ อ.พะโต๊ะ จ.ชุมพร

(3) *แกรนิตระนอง (Ranong Granite, รูป 3)* เป็นมวลแกรนิตที่สัมพันธ์กับดีบุกและดินขาวมาก โดยเฉพาะที่ ต.หาดส้มแป้น (Hat Som Paen) อ.เมืองระนอง จนได้รับฉายาว่า “*Hat Som Paen Granite*” (Aranyakanon, 1962) แกรนิตระนองโผล่เป็นหย่อมๆ ทางตอนใต้ ต่อจากแกรนิตภูเก็ท-พังงา วางตัวเป็นแนวยาว ในทิศเหนือถึงใต้ แต่ไม่ต่อเนื่อง เป็นหย่อมแกรนิตเล็กๆ มีความกว้าง 5-10 กม. และความยาว 40 กม. ในที่นี้ได้จัดให้แกรนิตระนอง แบ่งเป็น 2 หน่วย โดยทางด้านเหนือเรียก *แกรนิตเขาโพธิ์ (Khao Po Granite)* ซึ่งเป็นแกรนิตไบโอไทต์-มัสโคไวต์ ส่วนอีกหน่วยอยู่ทางใต้ ซึ่งเรียก “*แกรนิตหาดส้มแป้น*” (Aranyakanon, 1962) ซึ่งเป็นแกรนิตมัสโคไวต์ สีขาวเทา ผลึกละเอียด-หยาบปานกลาง และมีทัวร์มาลีนปะปนด้วย แกรนิตระนองต่อเลยไปทางตะวันออกเฉียงเหนือไปยัง จ. เพชรบุรี (น้ำตกห้วยยาง) และเข้าไปทางตอนใต้ของพม่าด้วย นอกจากนี้ยังต่อเลยไปทางเหนือจาก จ. เพชรบุรีไปยังราชบุรี (โป่งกระทิง-สวนผึ้ง-ตะโกปิดทอง) และกาญจนบุรี (ปิ๊ลอก) ทางตะวันตกของไทยติดพรมแดนพม่า (ดูรูป 2) ซึ่งส่วนใหญ่เป็นมวลแกรนิตขนาดเล็ก ยาว 25-50 กม. และกว้าง 5-10 กม. และเป็นหินแกรนิตไบโอไทต์-มัสโคไวต์ ซึ่งให้แหล่งดีบุก-ทังสแตน และแร่ธาตุหายาก

(4) *แกรนิตชุมพร (Chumporn Granite, รูป 2)* เป็นมวลแกรนิตเป็นหย่อมๆ ประมาณ 5-6 แห่ง โดยมีความยาวเฉลี่ยแห่งละ 10 กม. วางตัวต่อเนื่องกันขนานไปกับพรมแดนไทย-พม่า และสัมพันธ์กับแหล่งดีบุก-ทังสแตน ซึ่งหิน

แกรนิตส่วนใหญ่เป็นหินแกรนิตไบโอไทต์ แสดงเนื้อดอกมากกว่าเนื้อขนาดเดี่ยว และพอกใกล้แหล่งแร่ หินเป็นพวกที่มีทั้งไบโอไทต์ และมัสโคไวต์

#### 4. ลักษณะเฉพาะของหินแกรนิตในภาคใต้

ผลการศึกษาวิจัยหินแกรนิตของนักธรณีวิทยาต่างชาติหลายท่าน (เช่น Beckin-sale และคณะ, 1979, Cobbing และคณะ, 1996, 1992, Ishihara และคณะ, 2008) รวมทั้งงานวิจัยของนักธรณีวิทยาไทย (เช่น Nakapadungrat, 1982, Charusiri, 1989, Putthapiban, 1984, 2002, Charusiri และคณะ, 1993, และ 2002) ทำให้จำแนกลักษณะทางธรณีเคมี การกำเนิดหินอัคนี (แกรนิต) และการกำหนดอายุหินในภาคใต้ได้เป็นอย่างดี

#### 4.1 ศีลาเคมี (Petrochemistry)

##### 4.1.1 แนวตะวันออก

หินแกรนิตในแนวตะวันออกโดยเฉพาะภาคใต้ของประเทศไทยพบน้อยมาก (รูป 3) โดยเฉพาะที่จังหวัดนราธิวาส ซึ่งผลการศึกษาศีลาเคมีจนถึงปัจจุบัน (ดู Ishihara และคณะ, 1980 & 2008, Nakapadungrat, 1982, Pitfield, 1988, Charusiri, 1989, Cobbing และคณะ, 1992) บ่งบอกว่า หินแกรนิตนราธิวาส เป็นหินแกรนิตที่มีปริมาณ  $\text{SiO}_2$  ส่วนใหญ่อยู่ในช่วง 58-70% (เฉลี่ย 65%) และยังคงเป็นหินแกรนิตจริง ๆ (“*sensu stricto*” granite) นอกจากนี้ยังพบหินแกรนิตไดโอไรต์และหินไดโอไรต์ [ที่รวมๆ กันเรียกว่า หินอะดาเมลไลต์ (adamellite)] และยังคงจัดอยู่ในจำพวกหินแกรนิตแบบกว้างๆ (“*sensu lato*”

granite) ประมาณ 5 % จากผลธรณีเคมีพบว่า หินแกรนิตในแนวตะวันออกส่วนใหญ่จัดเป็น เมตอลูมินัส (metaluminous) แต่ที่เป็น หินสีจาง (felsic) อาจมี SiO<sub>2</sub> สูงได้ถึง ± 70% จัดเป็นพวกเปอร์อลูมินัส (peraluminous) และแทบไม่พบมีสโคไวต์เลย (Cobbing และ คณะ, 1992) ทำให้พอสรุปได้ว่าหินแกรนิต แนวตะวันออกจัดเป็นหินแกรนิตอัคนีหรือ แกรนิตแบบ I (I-type granite) ตามการจำแนก ของ Chappell & White (1974) และจัดเป็น แกรนิตชุดแมกนีไทต์ (magnetite Series granites) ตามการจำแนกของ Ishihara (1977) เพราะมีค่าการซึมซับแม่เหล็ก (magnetic susceptibility) ที่สูงในช่วง  $2 \times 10^{-3}$  SI ใดๆก็ตาม Cobbing และคณะ (1992) ได้จัดให้เป็นหินแกรนิตที่มีปริมาณ K<sub>2</sub>O มากกว่า และปริมาณ CaO น้อยกว่าหินแกรนิต คอร์ดิลเลอแรน (Cordilleran-type granite) โดยสรุปว่าหินแกรนิตแนวตะวันออกเกิดจากการมุดตัวของแผ่นสมุทรลงใต้แผ่นทวีปจนเกิดการหลอมละลายบางส่วน (partial melting) กลายเป็นหินหนืดสีเข้ม (mafic magma) ผ่านกระบวนการแยกลำดับส่วน (Magmatic differentiation) จนเกิดเป็นหินแกรนิต เป็นที่น่าสังเกตว่าแนวตะวันออกต่อไปทางใต้ไป เป็นแนวตะวันออกขนาดใหญ่ของมาเลเซีย ซึ่งโดยทั่วไปแกรนิตพวกนี้แสดงอัตราส่วน Sr แรกเริ่ม (initial strontium ratio) ต่ำ (< 0.71) (Puttha-piban, 1984) นอกจากนั้นค่าความซึมซับแม่เหล็ก อยู่ในช่วง  $0.4-1.01 \times 10^{-3}$  SI ทำให้จัดหินแกรนิตแนวตะวันออกส่วนใหญ่เป็นแกรนิตชุดแมกนีไทต์ (magnetite series) (Ishihara และคณะ, 1980)

#### 4.1.2 แนวกลาง

แนวกลางมักเกิดเป็นหินอัคนีมวลไพศาลขนาดใหญ่ วางตัวเป็นแนวยาว ครอบคลุมชายฝั่งทะเลอ่าวไทยเกือบทั้งหมด และมีลักษณะธรณีเคมีที่เด่นชัด คือมีสีจาง (felsic) มากกว่าแนวตะวันออก โดยมีปริมาณ SiO<sub>2</sub> อยู่ในช่วง 67-77% ส่วนออกไซด์ ของธาตุแอลคาไล (alkali) และแอลคาไลเอิร์ท (alkali earth) ไม่แสดงแนวเป็นเส้นตรงเหมือนของแกรนิตแนวตะวันออก เนื่องจากอิทธิพลของการปนเปื้อนกับเปลือกโลก (crustal contamination) (ดู Charusiri, 1981, Charusiri และคณะ, 1995) นอกจากนั้นปริมาณธาตุร่องรอย (trace element) และธาตุหายากบางตัวมีปริมาณค่อนข้างสูง (เช่น U, Th, Rb, Nb, Ta, Nd และ Sm เป็นต้น) เมื่อเทียบกับค่าเฉลี่ยของเปลือกโลก ผลการศึกษาพบว่าหินแกรนิตภาคใต้โดยเฉพาะแนวกลางนี้มีการแปรเปลี่ยน (alteration) ที่มากกว่าหินแกรนิตแนวกลางในภาคเหนือ ซึ่งธรณีเคมีของหินแกรนิตแนวกลางในภาคใต้บ่งบอกการกำเนิดมาจากหินแกรนิตตะกอน (S-type, Chappel & White, 1974) หรือแกรนิตชุดอิลเมไนต์ (ilmenite-series granites, Ishihara, 1977) ค่าความซึมซับแม่เหล็กของแนวกลางอยู่ในช่วงที่ต่ำกว่าของแนวตะวันออกเป็นอย่างมาก คืออยู่ในช่วงประมาณ  $0.01-0.19 \times 10^{-3}$  SI ยกเว้นหินแกรนิตปะนาเระ (บ้านบาตะทูโบ) ที่มีค่าความซึมซับค่อนข้างสูง คือประมาณ  $0.05-3.40 \times 10^{-3}$  SI (Ishihara และคณะ, 1980) สำหรับหินแกรนิตแนวกลางมักมีอัตราส่วน Sr แรกเริ่ม (initial Sr ratio) ค่อนข้างสูง คือโดยทั่วไปสูงกว่า 0.72 และอาจสูงถึง 0.74 (Putthapiban, 1984)

#### 4.1.3 แนวตะวันตก

หินแกรนิตในแนวตะวันตกมักมีอัตราส่วน Sr แรกเริ่มค่อนข้างสูงและโดยทั่วไปสูงกว่า 0.72 โดยเฉพาะที่ เขาโต๊ะแซะ อ.เมือง จ.ภูเก็ตซึ่งมีค่าประมาณ 0.74 อย่างไรก็ตาม มีหินแกรนิตบางแห่ง เช่นแกรนิตเขาประทิว พบว่ามีอัตราส่วน Sr แรกเริ่มค่อนข้างต่ำกว่า คือประมาณ 0.7144 (Putthapiban, 1984) ดังนั้นโดยทั่วไปหินแกรนิตอันดามันแถบตะวันตกจึงมีอัตราส่วน Sr แรกเริ่มค่อนข้างต่ำคือ มีปริมาณ  $\text{SiO}_2$  ประมาณ 69-72% และประมาณ  $\text{K}_2\text{O}$  โดยเฉลี่ยมากกว่า 5% และ  $\text{Na}_2\text{O}$  ประมาณ 3-3.2% และธรณีเคมีของธาตุร่องรอยและธาตุหายากบางตัวบ่งบอกว่าหินแกรนิตแนวตะวันตกส่วนใหญ่จัดเป็นแกรนิตตะกอน (S-type granite) ซึ่งมักมีอัตราส่วน Sr แรกเริ่มที่สูง  $>0.71$  และเป็นหินมอนโซแกรนิตจำพวกเมตอลูมินัส-ซัลแอลคาไล (metaluminous-subalkali monzogranite) จนถึงเปอร์อลูมินัส แอลคาไล แคลลซิก (peraluminous alkali-calcic) และมีกำเนิดมาจากการหลอมละลายบางส่วนของหินตะกอนหรือหินแกรนิตจากเปลือกโลกทวีป (Putthapiban, 1984)

อย่างไรก็ตาม แกรนิตแนวตะวันตกบางบริเวณพบหินแกรนิตอัคนี (I-type) และชุดแมกนีไทต์ ได้เช่นกัน เช่นแกรนิตเขาพนมเบญจา (กระบี่), แกรนิตเขาประทิว (ภูเก็ต), และแกรนิตอ่าวในยาง (ภูเก็ต) เป็นต้น ซึ่งส่วนใหญ่เป็นหินแกรนิตฮอร์นเบลนด์-ไบโอไทต์ที่มีสฟีน นอกจากนั้นยังมีปริมาณ  $\text{SiO}_2$ ,  $\text{Fe}_2\text{O}_3$ , และ  $\text{CaO}$  โดยเฉลี่ยมากกว่าแกรนิตแนวตะวันตกที่อื่น ส่วนธาตุร่องรอยและธาตุหายากบางตัวบ่งบอกความเป็นหิน

แกรนิตอัคนี (I-type) ชัดเจน โดยหินแกรนิตดังกล่าวยังแสดงการแปรเปลี่ยน (alteration) ที่รุนแรงน้อยกว่าแกรนิตแนวตะวันตกที่อื่นด้วย (Charusiri และคณะ, 1993) สำหรับค่าความซึมซับแม่เหล็กของหินแกรนิตแนวตะวันตกโดยทั่วไปใกล้เคียงกับหินแกรนิตแนวกลางคือค่อนข้างต่ำ ประมาณ  $0.09-0.18 \times 10^{-3}$  SI ทำให้จัดหินแกรนิตแนวตะวันตกนี้เป็นชุดอิลเมไนต์ (Ilmenite series) ยกเว้นเพียงบางแห่งที่ค่าความซึมซับแม่เหล็กค่อนข้างสูง คือแกรนิตประทิว ( $\sim 4.02-17.9 \times 10^{-3}$  SI) และแกรนิตอ่าวในยาง ( $\sim 4.0-5.7 \times 10^{-3}$  SI) ซึ่งจัดเป็นแกรนิตชุดแมกนีไทต์ (Ishihara และคณะ, 1980)

#### 4.2 อายุหินแกรนิต (Ages of Granites)

หินแกรนิตในภาคใต้เป็นหินที่ได้รับความสนใจอย่างมาก เนื่องจากในหลายพื้นที่หินมีความสัมพันธ์ใกล้ชิดกับแหล่งแร่ดีบุก-ทังสแตน (Ishihara และคณะ, 1980, Nakapadungrat และคณะ, 1988) ผลการศึกษานี้จึงเน้นไปที่อายุและการกำเนิดแหล่งแร่และหินแกรนิต ซึ่งการหาอายุในอดีตมีหลายวิธี เช่น K-Ar (ดู Burton & Bignell, 1969),  $^{40}\text{Ar}/^{39}\text{Ar}$  (Charusiri, 1989, Charusiri, และคณะ, 1993), และ Rb-Sr (ดู Nakapadungrat, 1982, Putthapiban, 1984) และในปัจจุบันได้เน้นไปที่การหาอายุหินแกรนิตโดยวิธี U-Pb (Kanchanapayont และคณะ, 2012, Searle และคณะ, 2012, Kawakami และคณะ, 2014) และในการศึกษานี้ได้เน้นเฉพาะที่ได้จากวิธี U-Pb เป็นหลัก

##### 4.2.1 แกรนิตแนวตะวันออก

Ishihara และคณะ (1980) ได้รายงาน

อายุหินแกรนิตแนวตะวันออกจากแกรนิตสุครีริน และแกรนิตตันหยงโดยวิธี K-Ar จากไบโอไทต์ ว่ามีอายุประมาณ  $224 \pm 4$  ล้านปี (สุครีริน) และ  $206 \pm 6$  ล้านปี (ตันหยง) ตามลำดับ คือปลายยุค ไทรแอสซิก อย่างไรก็ตามแนวตะวันออก เมื่อต่อเลยไปทางใต้ในภาคเหนือคาบสมุทรมมาเลย์ และจากการรวบรวมข้อมูลพบว่า แกรนิตแนวนี้ในมาเลเซีย อายุประมาณ  $236 \pm 1$  และ  $222 \pm 2$  ล้านปี โดยวิธี U-Pb จากเซอร์-คอนในหินแกรนิตโนริงสโตง (Noring Stong granite; Ng และคณะ, 2015) และแกรนิตเบนนม (Benom granite, Ng และคณะ, 2015 ตามลำดับ) ทำให้เชื่อว่าอายุที่เป็นไปได้มาก สำหรับแกรนิตสุครีรินและแกรนิตตันหยงในจ.นราธิวาสน่าจะมีอายุประมาณนี้ คือต้นอนุยุคนอเรียน (early Norian) หรือ ประมาณกลางถึงปลายยุคไทรแอสซิก (Middle- - Late Triassic) แนวแกรนิตนี้เมื่อต่อลงไป ทางใต้ของมาเลเซีย ที่เกาะปีซาร์ (Besar) รัฐยะโฮร์ (Johor) Ghani และคณะ (2014) ได้กำหนดอายุเฉลี่ยของ หินแกรนิตน้ำน้อย (anhydrous หรือ A-type granite) จากเซอร์-คอนด้วยวิธี U-Pb ได้เป็น  $280.9 \pm 2.3$  ล้านปี (กลางยุคเพอร์เมียน)

#### 4.2.2 แกรนิตแนวกลาง

แกรนิตแนวกลางได้รับความสนใจและมีการศึกษาด้านอายุมากกว่าแกรนิตแนวตะวันออก เพราะมีพื้นที่ในการกระจายตัวของ หินมากกว่า และส่วนใหญ่สัมพันธ์กับแร่ดีบุก ซึ่งเริ่มต้นโดย Pitakpaiwan (1969) จากหินแกรนิตจาก จ.สงขลา, จ.ตรัง, และ จ.ยะลา ด้วยวิธี K/Ar จากแร่ไมกา และได้อายุประมาณ  $171 \pm 5$  ล้านปี ที่บ้านน้ำน้อย ต.บ้านน้ำน้อย อ.หาดใหญ่ และ  $181 \pm 6$  ล้านปี (Early Jurassic)

ที่เขารูปช้าง ต.เขารูปช้าง อ.เมือง จ.สงขลา

ส่วนหินแกรนิต จ.ตรังและจ.ยะลา ให้อายุ K-Ar เฉลี่ยที่แก่กว่าคือประมาณ  $180 \pm 5$  ล้านปี (Toarcian, Early Jurassic) จากไบโอ-ไทต์ในแกรนิตเขากะช่อง (Kachong) ต.ช่อง อ.นาโยง จ.ตรัง และประมาณ  $229 \pm 7$  ล้านปี (หรือประมาณอนุยุคนอเรียน-Norian หรือ ประมาณปลายยุคไทรแอสซิก) จากไบโอไทต์ ในหินแกรนิต ที่น้ำตกธารโต (วนอุทยานบางลาง) ต. ถ้ำทะลุ อ. บันนังस्ता จ. ยะลา หลังจากนั้น Ishihara (1980) ได้รายงานอายุ หินแกรนิต จากแร่ไมกาในหินแกรนิตด้วยวิธี K-Ar เหมือนกัน โดยที่ (ก) เกาะสมุยได้อายุประมาณ  $202 \pm 6$  ล้านปี, (ข) แกรนิตยอดน้ำ (Yod Nam Granite) ให้อายุอ่อนกว่า คือประมาณ  $68 \pm 2$  ล้านปี (Late Cretaceous), (ค) แกรนิตเขาหลวง (Khao Luang Granite-นครศรีธรรมราช) ได้ อายุประมาณ  $187 \pm 6$  ล้านปี (Early Jurassic), (ง) แกรนิตสงขลาที่เหมืองทุ่งโพธิ์ (อ.นาหม่อม จ.สงขลา), (จ) แกรนิตวังพา (Wang Pha Granite) (ต. ทุ่งตำเสา อ. หาดใหญ่ จ. สงขลา) ให้อายุต้นยุคจูแรสซิก ประมาณ  $191 \pm 6$  ล้านปี จากไบโอไทต์ และ  $187 \pm 6$  ล้านปี จาก มัสโคไวต์, และ (ฉ) แกรนิตรือเสาะ (อ.รือเสาะ จ.นราธิวาส) ให้อายุประมาณ  $145 \pm 5$  ล้านปี (ปลายสุดของยุคจูแรสซิก) จากไบโอไทต์ Ishihara และคณะ (1980) ได้รายงานว่า แกรนิตปัตตานีคือแกรนิตกือลอง ต.บ้านกือลอง ต.ตลิ่งชัน อ.บันนังस्ता จ.ยะลา ตรวจหาอายุ โดย K-Ar จากมัสโคไวต์ ได้ประมาณ  $52.9 \pm 1$  ล้านปี (ต้นอนุ ยุคอีโอซีน) ขณะที่ Pitakpaiwan(1969) พบว่าแกรนิตกือลอง มีอายุเพียง  $34 \pm 1$  ล้านปี (ปลายอนุยุคอีโอซีน)

โดยวิธี K-Ar จากไบโอไทต์ อย่างไรก็ตาม หินแกรนิตแนวกลางนี้เมื่อต่อเลยไปทางมาเลเซีย พบว่าอายุที่ได้จากเซอร์คอนในหินแกรนิต ด้วยวิธี U-Pb พบว่า อยู่ในช่วงอายุประมาณ 230–200 ล้านปี (ปลายยุคไทรแอสซิก) (Ghani, 2000)

#### 4.2.3 แกรนิตแนวตะวันตก

อายุหินแกรนิตแนวตะวันตกหรือแกรนิตอันดามันมักเป็นแบบร่วมสมัย (classical age dating) ได้แก่ Rb-Sr, K-Ar, และ Ar-Ar (ดู Burton & Bignell, 1969, Garson และคณะ, 1975, Beckinsale และคณะ 1979, Beckinsale และ Nakapadungrat, 1981, Putthapiban, 1984, Charusiri และคณะ, 1992)

ที่เกาะภูเก็ต Putthapiban (1984) ได้กำหนดอายุหินแกรนิตได้ประมาณ 74–100 ล้านปีด้วยวิธี Rb-Sr จากหินทั้งก้อน (Rb-Sr wholerock isochron) ซึ่งแบ่งเป็นกลุ่มอายุ  $95 \pm 5$  ล้านปี และกลุ่ม  $80 \pm 5$  ล้านปี (และมีอัตราส่วน Sr แรกเริ่มค่อนข้างสูงมาก ประมาณ 0.714 ถึง 0.7453) ส่วนหินแกรนิตที่กำหนดอายุโดยวิธี K-Ar และ  $^{40}\text{Ar}/^{39}\text{Ar}$  จากแร่ไมกาให้อายุที่อ่อนกว่า คือกลุ่มอายุ  $70 \pm 5$  ล้านปี และกลุ่มอายุ  $55 \pm 5$  ล้านปี (ดู Charusiri และคณะ, 1993) สำหรับแกรนิตตะกั่วป่า-พังงา Beckinsale และ Nakapadungrat (1981) กำหนดอายุด้วยวิธี Rb-Sr จากหินทั้งก้อนได้ประมาณ  $78 \pm 2$  ล้านปี (และมีอัตราส่วน Sr แรกเริ่มสูง  $\sim 0.7346$ ) และที่เขานิม (Khanim หรือ Sanim, ต.ท้ายเหมือง อ.ท้ายเหมือง จ.พังงา) หินแกรนิตหาอายุจากมีสโคไวต์ด้วยวิธี K-Ar ได้ ประมาณ  $65 \pm 2$  ล้านปี ขณะที่แกรนิตระนองจากการศึกษาของ

Burton & Bignell (1969) ได้กำหนดอายุหินด้วยวิธี K-Ar จากแร่ไมกา ได้อายุ  $63 \pm 9$  ล้านปีที่น้ำตกหงาว ส่วนที่ อ.เมืองระนองได้อายุ  $66 \pm 3$  และ  $73 \pm 3$  ล้านปี (หรือเฉลี่ยประมาณ  $70 \pm 5$  ล้านปี) ซึ่งสอดคล้องกับ Charusiri และคณะ (1993) ที่หาอายุแกรนิตระนองได้ประมาณ  $75 \pm 5$  ล้านปี ด้วยวิธี  $^{40}\text{Ar}/^{39}\text{Ar}$  จากมีสโคไวต์ในหินแกรนิต

อย่างไรก็ตาม หินแกรนิตที่เกาะภูเก็ตได้ถูกกำหนดใหม่โดยวิธี U-Pb จากเซอร์คอนในหินแกรนิตโดย Searle และคณะ (2012) จากตัวอย่าง 4 ตัวอย่าง และได้อายุ 2 กลุ่มคือกลุ่มอายุแก่ ( $214 \pm 2$  และ  $212 \pm 3$  ล้านปี) และกลุ่มอายุอ่อนได้ ( $81.2 \pm 1.2$  และ  $80 \pm 5$  ล้านปี) ซึ่งรายละเอียดเกี่ยวกับการรายงานอายุที่แก่มากเป็นครั้งแรก แต่ยังไม่พบรายงานการวิเคราะห์โดยละเอียด เป็นที่น่าสังเกตว่าแกรนิตภูเก็ตที่มีอายุน้อยสอดคล้องกับอายุจาก Rb-Sr จากหินทั้งก้อน และเมื่อเร็วๆ นี้อายุของหินแกรนิตที่เกาะภูเก็ตและพังงาได้ถูกนำเสนออย่างไม่เป็นทางการ โดย Sritangsirikul (2023) ซึ่งผลการหาอายุด้วยวิธี U-Pb จาก เซอร์คอนพบว่าส่วนใหญ่มีอายุในช่วง 80 – 55 ล้านปี

นอกจากนั้นหินแกรนิตบางสะพาน จ.ประจวบคีรีขันธ์ สามารถกำหนดอายุจากเซอร์คอนด้วยวิธี U-Pb ได้ประมาณ  $76.26 \pm 0.82$  ล้านปี (ปลายยุคครีเตเชียส) โดย Dew และคณะ (2012) และหินแกรนิตใกล้เคียงกับบ่อน้ำร้อนพรรั้ง (บ.พรรั้ง ต.บางรี อ.เมืองระนอง) หาอายุด้วยวิธี U-Pb ได้ประมาณ  $81.4 \pm 1.1$  ล้านปี (Dew และคณะ, 2012) ใกล้เคียงกับอายุหินแกรนิตระนอง Charusiri และคณะ (1993)

#### 4.3 ลักษณะเฉพาะของความเข้มข้นมันตรังสี และสภาพการซึมซับแม่เหล็ก

ผลการตรวจวัดลักษณะเฉพาะของหินแกรนิต ซึ่งในที่นี้ได้แก่ ค่าสภาพการซึมซับแม่เหล็ก และความเข้มข้นมันตรังสีด้วยเครื่องแบบพกพา (portable unit) (ตาราง 1) ของหินแกรนิตจังหวัดภูเก็ต - พังงา พบว่าหินแกรนิตในพื้นที่ที่มีลักษณะเฉพาะตัวที่แตกต่างกัน กล่าวคือ ค่าความเข้มข้นมันตรังสีโพแทสเซียม (K) ยูเรเนียม (U) และทอเรียม (Th) ของหินแกรนิตไปโอไทด์ อยู่ในช่วงร้อยละ 5.4 - 6.6, 14.0 - 36.4 eppm และ 79.3 - 110.6 eppm ตามลำดับ ค่าความเข้มข้นมันตรังสีโพแทสเซียม (K) ยูเรเนียม (U) และทอเรียม (Th) ของหินแกรนิตไปโอไทด์ - มัสโคไวต์ อยู่ในช่วงร้อยละ 5.0 - 6.2, 19.9 - 28.9 eppm และ 77.4 - 149.0 eppm ตามลำดับ ส่วนค่าสภาพการซึมซับแม่เหล็กของหินแกรนิตไปโอไทด์ และหินแกรนิตไปโอไทด์ - มัสโคไวต์ อยู่ในช่วง  $0.0457 - 0.1182 \times 10^{-3}$  SI และ  $0.0159 - 0.0481 \times 10^{-3}$  SI ตามลำดับ

สำหรับหินแกรนิตจังหวัดสงขลา - นราธิวาส - ปัตตานี พบว่า หินแกรนิตในพื้นที่ที่มีลักษณะเฉพาะตัวที่แตกต่างกัน กล่าวคือ ค่าความเข้มข้นมันตรังสีโพแทสเซียม (K) ยูเรเนียม (U) และทอเรียม (Th) ของหินแกรนิตไปโอไทด์ อยู่ในช่วงร้อยละ 4.0 - 5.4, 10.3 - 22.7 eppm และ 21.9 - 67.2 eppm ตามลำดับ และค่าความเข้มข้นมันตรังสีโพแทสเซียม (K) ยูเรเนียม (U) และทอเรียม (Th) ของหินแกรนิตไปโอไทด์ - มัสโคไวต์ อยู่ในช่วงร้อยละ 3.6 - 7.5, 11.4 - 26.9 eppm และ 15.8 - 52.5 eppm

ตามลำดับ ส่วนค่าสภาพการซึมซับแม่เหล็กของหินแกรนิตไปโอไทด์ และหินแกรนิตไปโอไทด์ - มัสโคไวต์ อยู่ในช่วง  $0.0568 - 0.1021 \times 10^{-3}$  SI และ  $0.0231 - 0.0977 \times 10^{-3}$  SI ตามลำดับ

ผลการศึกษาเปรียบเทียบลักษณะเฉพาะของหินแกรนิตทั้งสองชนิดในพื้นที่จังหวัดภูเก็ต - พังงา ซึ่งอยู่ในหินแกรนิตแนวตะวันตก ทำให้ทราบว่าหินแกรนิตไปโอไทด์ - มัสโคไวต์ เมื่อค่าสภาพการซึมซับแม่เหล็กมากขึ้น ค่าความเข้มข้นมันตรังสีโพแทสเซียมจะเพิ่มขึ้น และค่าความเข้มข้นมันตรังสีทอเรียมต่อยูเรเนียมจะเพิ่มขึ้นเช่นกัน ส่วนหินแกรนิตไปโอไทด์ ค่าสภาพการซึมซับแม่เหล็กมีความสัมพันธ์ค่อนข้างคงที่กับค่าความเข้มข้นมันตรังสีโพแทสเซียม และเมื่อค่าสภาพการซึมซับแม่เหล็กมากขึ้น ค่าความเข้มข้นมันตรังสีทอเรียมต่อยูเรเนียมจะเพิ่มขึ้น (รูป 4ก และรูป 4ข)

ส่วนความสัมพันธ์ระหว่างลักษณะเฉพาะของหินแกรนิตทั้งสองชนิดในพื้นที่จังหวัดจังหวัดสงขลา - นราธิวาส - ปัตตานี ซึ่งอยู่ในหินแกรนิตแนวกลาง ทำให้ทราบว่าหินแกรนิตไปโอไทด์ - มัสโคไวต์ เมื่อค่าสภาพ การซึมซับแม่เหล็กมากขึ้น ค่าความเข้มข้นมันตรังสีโพแทสเซียมจะเพิ่มขึ้น และ ค่าความเข้มข้นมันตรังสีทอเรียมต่อยูเรเนียมจะเพิ่มขึ้น ส่วนหินแกรนิตไปโอไทด์ เมื่อค่าสภาพการ ซึมซับแม่เหล็กเพิ่มขึ้น ค่าความเข้มข้นมันตรังสี โพแทสเซียมจะลดลง และ ค่าความเข้มข้นมันตรังสีทอเรียมต่อยูเรเนียมจะลดลง (รูป 4ค และรูป 4ง)

ส่วนความสัมพันธ์ระหว่างลักษณะเฉพาะของหินแกรนิตไปโอไทด์ ในพื้นที่จังหวัดสงขลา - นราธิวาส - ปัตตานี ซึ่งอยู่ในหิน

แกรนิตแนวตะวันออก ทำให้ทราบว่าค่าสภาพการซึมซับแม่เหล็ก มีความสัมพันธ์เชิงบวกกับค่าความเข้มกัมมันตรังสีโพแทสเซียม แต่มีความสัมพันธ์เชิงลบกับค่าความเข้มกัมมันตรังสีทอเรียมต่อยูเรเนียม (รูป 4จ และรูป 4ข)

## 5. แนวแร่ ธรณีวิทยาแหล่งแร่ และการกำเนิด

การเกิดแหล่งแร่หลายแหล่งมีความสัมพันธ์กับหินแกรนิตบางชนิด (Hutchison, 1977, Park, 1985, Charusiri และคณะ, 1993) ซึ่งความสัมพันธ์และรูปแบบการเกิดแหล่งแร่ในเอเชียตะวันออกเฉียงใต้ได้ให้รายละเอียดไว้โดย Hutchison & Taylor (1978), Cobbing และคณะ (1986, 1992), Pitfield (1988) และ Khin Zaw และคณะ (2014) ส่วนในประเทศไทย แหล่งแร่ส่วนใหญ่มักสัมพันธ์ใกล้ชิดกับหินแกรนิต สำหรับเอกสารที่รวบรวมได้เกี่ยวกับแหล่งแร่ดีบุกและแร่อื่นๆ ในไทยคือ ไพรัช ศุภธารกรณ์ (2543) และ Crow & Khin Zaw (2011) โดยเฉพาะในช่วงการเกิดแหล่งแร่ในมหายุคมีซ-อิมิซิวิน (Mesozoic) และนวยิวิน (Cenozoic) ส่วนที่เกี่ยวข้องกับแหล่งแร่ธาตุหายากที่สำคัญ ได้แก่ งานของ Imai และคณะ (2012) และ Sanematsu และคณะ (2011)

### 5.1 เขตแร่แนวตะวันออก

แหล่งแร่แนวตะวันออกไม่สามารถแบ่งเป็นแนวย่อยเหมือนแหล่งแร่แนวอื่น ๆ ในที่นี้จึงแบ่งออกตามชนิดแร่เป็น 4 แหล่ง ดังนี้

ผลการศึกษาแกรนิตแนวตะวันออกของ Jacobson และคณะ (1969), Shawe (1984), Charusiri (1989) และ Charusiri (1993) พอสรุปในภาพรวมๆ ได้ว่าในพื้นที่ภาคใต้ หินแกรนิตแนวตะวันออกเป็นหินอะดา

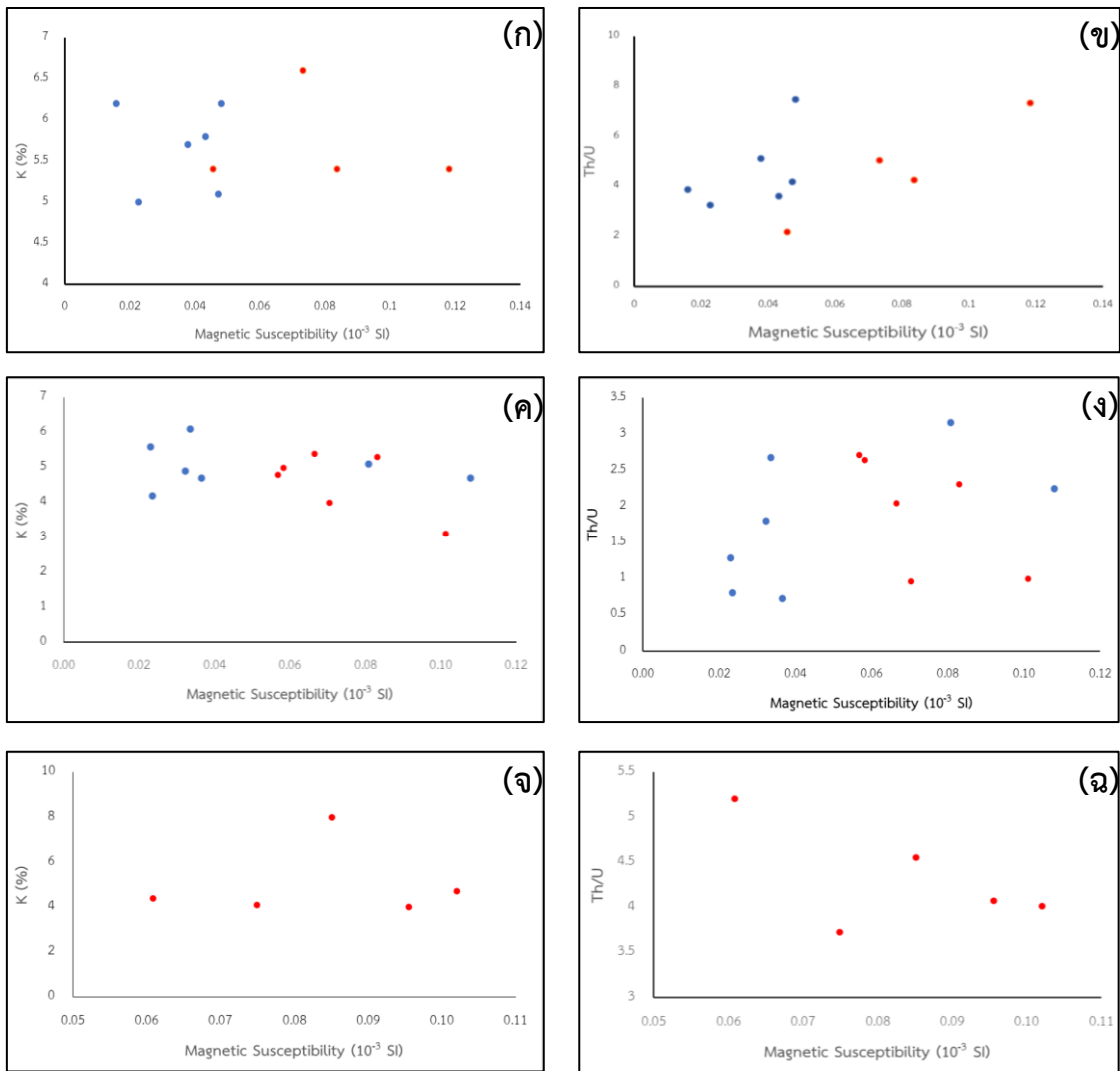
-เมลโลด (adamellite)-ลิวโคแกรนิต (leuco-granite) ประเภทแกรนิตอค์นี (I-type) และชุดแมกนีไทด์ที่มีค่าความซึมซับแม่เหล็กค่อนข้างสูงกว่าแกรนิตแนวอื่น ๆ ในพื้นที่ศึกษา จึงสัมพันธ์กับแหล่งแร่ที่ไม่เกี่ยวข้องกับแร่ดีบุก บางครั้งจึงเรียกว่าหินแกรนิตไร้ดีบุก (tin-barren granite, ดู Pitakpawan, 1969) ที่มีส่วนสัมพันธ์กับแหล่งแร่สำคัญๆ อย่างอื่น ได้แก่ แหล่งทองคำ แหล่งดินขาว และแหล่งแมงกานีส

(1) แหล่งทองคำ แหล่งทองคำที่สำคัญในแนวตะวันออกมี 2 แหล่งคือ แหล่งบ้านโตะโม๊ะ (ต.โตะโม๊ะ อ.โตะโม๊ะ จ.นราธิวาส) และแหล่งไอกาเปาะ (เหมืองฉืด ต.ภูเขาทอง อ.สุคีริน จ. นราธิวาส) ซึ่งทางเหนือของแหล่งโตะโม๊ะมีปริมาณแร่สำรองจากทั้งสองแหล่งรวมกันประมาณ 5 เมตริกตัน (กรมทรัพยากรธรณี, 2559) แหล่งแร่โตะโม๊ะพบทองคำเกิดในสายควอตซ์ ซึ่งหนา 5 ซม. ถึง 2.2 เมตร วางตัวในแนวเหนือ-ใต้ และเอียงเทไปทิศตะวันออก (15°- 45°) ความสมบูรณ์ประมาณ 7 กรัม/ตัน ตัดเข้าไปในหินแกรนิต-แกรโนไดโอไรต์ และหินแกรนิตขาว สายแร่ส่วนใหญ่เกิดตาม แนวรอยเลื่อนในแนวเหนือ-ใต้ โดยที่ หินแกรนิตตัดเข้าไปในหินชีสต์-หินฟิลไลต์ อายุมหายุคปฐุม ซีวินตอนกลาง (หรือ พาลีโอโซอิกตอนกลาง -Middle Paleozoic)

(2) แหล่งดินขาว ดินขาวที่สำคัญคือดินขาว นราธิวาส เป็นดินขาวเซรามิกคุณภาพดีที่เกิด จากหินแกรโนไดโอไรต์ (หรือหินอะดาเมลโลด) ซึ่งเป็นผลจากการผุพังและการกร่อนที่สูงทำให้เกิดแหล่งแร่ดินขาว

ศักยภาพสูงที่แผ่ตัวกว้างขวางอย่างน้อย 4 แห่งที่สำคัญ(ธงชัย พึ่งรัศมี,2527) คือ (ก) ดินขาวสุโขทัย ซึ่งมีพื้นที่ศักยภาพภาพที่ยาวรวมประมาณเกือบ 20 กม และกว้าง ประมาณ 5 กม. ซึ่งดินขาวสุโขทัยเป็นดินขาวจากหินแกรนิตที่ผุอยู่กับที่ (In-situ deposits) และที่ถูกพัดสะสมตัวในที่ลุ่ม (transported

deposits) จัดเป็นดินขาวคุณภาพดีที่หนาถึง 3-4 เมตร ลึกจากผิวดิน 2-2.5 เมตร พบในเขต ต.สุโขทัย ต.ปะลัญจ์ และต.โต๊ะเต็ง อ.สุโขทัย และ ต.มะรือโบออก อ.เจาะไอร้อง เนื้อที่รวม 54 ตร.กม คิดเป็นปริมาณสำรองถึง 102 ล้านตัน ซึ่งมีโรงล้างดินที่ กม.33 เส้นทางนราธิวาส-สุโขทัย และพบหินแกรนิตใกล้ที่สุด



● biotite-muscovite granite ● biotite granite

รูปที่ 4: (ก - ข) กราฟความสัมพันธ์ระหว่างค่าสภาพการซึมซับแม่เหล็กกับค่าความเข้มข้นแร่ธาตุโพแทสเซียมและค่าความเข้มข้นแร่ธาตุทอเรียมต่อยูเรเนียมของหินแกรนิตแนวตะวันตก พื้นที่ภูเก็ต - พังงา, (ค - ง) กราฟความสัมพันธ์ระหว่างค่าสภาพการซึมซับแม่เหล็กกับค่าความเข้มข้นแร่ธาตุโพแทสเซียมและค่าความเข้มข้นแร่ธาตุทอเรียมต่อยูเรเนียมของหินแกรนิตแนวกลาง พื้นที่สงขลา - นราธิวาส - ปัตตานี, และ (จ - ฉ) กราฟความสัมพันธ์ระหว่างค่าสภาพการซึมซับแม่เหล็กกับค่าความเข้มข้นแร่ธาตุโพแทสเซียมและค่าความเข้มข้นแร่ธาตุทอเรียมต่อยูเรเนียมของหินแกรนิตแนวตะวันออก พื้นที่สงขลา - นราธิวาส - ปัตตานี

ตาราง 1 ค่าสภาพการซึมซับแม่เหล็กและค่าความเข้มข้นของกัมมันตรังสีของหินแกรนิต ในเขตพื้นที่ภูเก็ต-พังงา และพื้นที่สงขลา - นราธิวาส - ปัตตานี

|   | หินแกรนิตไปโอไทต์ |            |           | หินแกรนิตไปโอไทต์ - มัสโคไวต์ |            |           |
|---|-------------------|------------|-----------|-------------------------------|------------|-----------|
|   | ค่ามากที่สุด      | ค่าน้อยสุด | ค่าเฉลี่ย | ค่ามากที่สุด                  | ค่าน้อยสุด | ค่าเฉลี่ย |
| <b>ภูเก็ต - พังงา</b>                           |                   |            |           |                               |            |           |
| ค่าสภาพการซึมซับแม่เหล็ก ( $\times 10^{-3}$ SI) | 0.1182            | 0.0457     | 0.1605    | 0.0481                        | 0.0159     | 0.0358    |
| <b>ความเข้มข้นกัมมันตรังสี</b>                  |                   |            |           |                               |            |           |
| - %K  | 6.6               | 5.4        | 5.7       | 6.2                           | 5.0        | 5.7       |
| - U eppm  | 36.4              | 14.0       | 23.2      | 28.9                          | 19.9       | 24.1      |
| - Th eppm                                       | 110.6             | 79.3       | 95.0      | 149.0                         | 77.4       | 107.2     |
| <b>สงขลา - นราธิวาส - ปัตตานี</b>               |                   |            |           |                               |            |           |
| ค่าสภาพการซึมซับแม่เหล็ก ( $\times 10^{-3}$ SI) | 0.1021            | 0.0568     | 0.0743    | 0.0977                        | 0.0231     | 0.0440    |
| <b>ความเข้มข้นกัมมันตรังสี</b>                  |                   |            |           |                               |            |           |
| - %K  | 5.4               | 4.0        | 4.6       | 7.5                           | 3.6        | 5.2       |
| - U eppm  | 22.7              | 10.3       | 15.3      | 26.9                          | 11.4       | 19.1      |
| - Th eppm                                       | 67.2              | 21.9       | 44.1      | 52.5                          | 15.8       | 29.3      |

หมายเหตุ: รายละเอียดและข้อมูลตัวอย่างหินแกรนิตที่เก็บ สถานที่เก็บ และลักษณะเฉพาะของหินได้แสดงไว้ในภาคผนวก (ตาราง ก และ ข) ใน เว็บไซต์ของ Thai Geoscience Journal

ที่ กม. 27 และ กม. 43 ซึ่งเป็นหินไปโอไทต์-ฮอร์นเบลนด์แกรนิต, (ข) ดินขาวจวบ อยู่ที่ ต.จวบ และ ต.มะรือโบออก อ.เจาะไอร้อง, ต.บางปอ อ.เมือง, และ ต.ตันหยงลิม อ.ระแงงจ นราธิวาส เนื้อที่รวม 48 ตารางกิโลเมตร ชั้นดินขาวหนา 0.5 เมตร (ลึก 0.5-1 เมตร จากผิวดิน) จัดเป็นดินที่มีเหล็กสูง ทำให้ คุณภาพไม่ดี คิดเป็นปริมาณสำรอง 90 ล้านตัน, (ค) ดินขาวยี่งอ พบที่ ต.ยี่งอ - ต.ละหาร อ.ยี่งอ, ต.มะนังยางอ อ.เมือง, และ ต.ตันหยงมัส --ต.เฉลิม อ.ระแงง จ.นราธิวาส

โดยดินขาวหนา อย่างน้อย 3 เมตร อยู่ลึกจากผิวดิน 0.5-1.5 เมตร จัดเป็นดินขาวทุติยภูมิ แต่คุณภาพไม่ดี เนื่องจากมีแร่ไมกาและเหล็กปน, และ (ง) ดินขาวตะปอเยาะ อยู่ที่ ต.ตะปอเยาะ - ต.ลูโบะปือชา อ.ยี่งอ และ ต.ลูโบะสาวอ อ.บาเจาะ เนื้อที่ 18.5 ตร.กม. ดินขาวทุติยภูมิ หนา 3 เมตรจากผิวดิน 0.3-1.5 เมตร เป็นดินขาวเกิดในที่ราบจากหินแกรนิต อ.ยี่งอ และ อ.ระแงง

(3) แหล่งโครไมต์ ตัวแหล่งแร่ไม่ได้เกิดสัมพันธ์กับหินแกรนิตโดยตรง แต่แหล่งโครไมต์

พบสะสมตัวระหว่างแกรนิตหรือเสาะกับแกรนิตต้น  
นหยง ซึ่งต่อเลยจากแหล่งทองคำ ขึ้นไปทาง  
เหนือ โดยมีพื้นที่ศักยภาพแร่ที่สำคัญ 2  
แร่คือโครไมต์และแร่แมงกานีส โดยที่แหล่ง  
โครไมต์วางตัวต่อเนื่องกันในแนวเหนือ-ใต้  
ของภูเขาภูเก็บบีมาตอ (ต.มาโมง อ.แว้ง  
จ.นราธิวาส) และต่อเนื่องไปทางฝั่งด้านใต้ทาง  
ฝั่งตะวันตกของแม่น้ำสายบุรี ในเขต  
ต.ช้างเผือก อ.จะนะ และพบว่าโครไมต์มักเกิด  
เป็นกะเปาะ (podiform) ในหินอัครินีซีเข้มจัดจำ  
พวกเพริโดไทต์ เซอร์เพนทีน (serpentinized  
peridotite) ยุคเพอร์โม-ไทรแอสซิกที่แทรกดัน  
เข้าไปในหิน แปรเกรดต่ำ (low-grade meta-  
morphism) (หินขนวน-หินฟิลไลต์) อายุ  
มหายุคปฐมซีวินตอนปลาย (หรือพาลีโอโซอิก  
ตอนปลาย- Late Paleozoic) โดยมีโครงสร้าง  
ของแหล่งโครไมต์ วางตัวอยู่ในแนวตะวันออก  
เฉียงเหนือ-ตะวันตก เฉียงใต้ (N25°E) และ  
มีความยาวเฉลี่ย ไม่น้อยกว่า 800 เมตร  
โดยมีโครไมต์ อยู่ลึกจากผิวดิน 2 เมตร  
และหนา 10 เมตร ครอบคลุมพื้นที่ 2.6 ตร.กม.  
คาดว่าน่าจะมีปริมาณสำรอง 2,000 เมตริกตัน

(4) แหล่งแมงกานีส แหล่งแร่นี้ปรากฏ  
ตามแนวตะวันออกเป็นส่วนใหญ่  
และกระจายตัวอยู่ทางใต้ของแหล่งโครไมต์นรา  
ธิวาส โดยพบที่ ต.ช้างเผือก อ.จะนะ  
ในอดีตจัดเป็น แหล่งแมงกานีสเกรดแบตเตอรี่  
(ที่มี  $MnO_2 \geq 75\%$ ) (Muenlek และคณะ,  
1985) และต่อมา ความสมบูรณ์ลดต่ำลง  
( $\leq 65\%$ ) และผลิตได้ มากกว่า 1,000 ตัน  
ในช่วงปี 2540-2546 แร่ แมงกานีสที่สำคัญ คือ

ไซโลมีเลน [psilomelane -  $Mn_5O_{10}(Ba,H_2O)_2$ ]  
สีด้าแข็งและไรโดไนต์ [rhodonites (Mn, Fe,  
Mg, Ca)  $SiO_3$ ] สีชมพู มีเหล็กสูง โดยแร่เหล่านี้  
พบอยู่ในสายแร่ควอตซ์ที่ตัดเข้าไปในหินฟิลไลต์  
-หินซีสต์ของ หมวดหินบ้านโต (Muenlek  
และคณะ, 1985) ที่อายุประมาณยุคคาร์บอน-  
นิเฟอรัส-เพอร์เมียนโดยมีพื้นที่ศักยภาพแผ่  
ปกคลุมเนื้อที่รวม 3 ตร.กม. และมีปริมาณ  
สำรอง 2,000 ตัน อนึ่ง พื้นที่ศักยภาพแร่  
แมงกานีส โดยกรมทรัพยากรธรณี (2559)  
ได้สรุปว่ามี 4 แหล่ง ได้แก่ (ก) แหล่ง คลองไอร์  
ตลอปือซื่อ (1.36 ตร.กม.) ปริมาณ สำรอง 800  
ตัน, (ข) บ้านเหมือง (0.46 ตร.กม.) ปริมาณ  
สำรอง 400 ตัน, (ค) แหล่งคลองกือซา (0.54  
ตร.กม.) ปริมาณสำรอง 400 ตัน, และ (ง)  
แหล่งบ้านช้างเผือก (0.64 ตร.กม.) 300 ตัน  
นอกจากนั้น ยังมีที่แหล่งท่าธง อ.รามัน จ.ยะลา  
และแหล่งบ้านป่าโอน ต.เทพา อ.เทพา  
จ.สงขลา ที่มีปริมาณสำรองรวม 2 หมื่นตัน

## 5.2 เขตแร่แนวกลาง

แกรนิตแนวกลางมักให้กำเนิดดีบุก-  
ทังสแตนและแร่ธาตุหายากเป็นส่วนใหญ่  
และแบ่งย่อยเป็น 3 แนว โดยที่ทุกแนววางตัว  
ในแนวเหนือ-ใต้ ได้แก่ (ก) แนวนราธิวาส  
ทางตะวันออก (100 กม.) (ข) แนวสงขลา-  
ยะลาทางตอนกลาง (200 กม.) และ (ค) แนว  
สุราษฎร์-สตูลทางตะวันตก (350 กม.)

(1) แนวแร่นราธิวาสจัดเป็นแหล่ง  
กำเนิดแร่ดีบุกในสายแร่ควอตซ์, ไกรเซน (greisens),

และสายเพกมาไทต์ (pegmatite) ซึ่งอยู่ทาง ตะวันตกของแกรนิตนราธิวาส (ซึ่งส่วนใหญ่ เป็นหินไบโอไทต์แกรนิต เนื้อดอก) แร่หนักที่เกิดร่วมกับดีบุก เช่น อิลเมไนต์, รูไทล์, ไนโอเบียม-แทนทาลัม (Nb-Ta, rutite), วุลแฟรมไมต์, โคลัมไบต์-แทนทาลอไลต์, โมนาไซต์ และเซอร์คอน เป็นต้น แต่ในบางแห่งก็พบแร่ ซัลไฟด์บ้าง เช่นกาสินา และสฟาเลอไรต์ (ดู Praditwan, 1988) สรุปว่ารูปแบบการเกิดแร่ หนักและดีบุก-ทังสเทน ในแนวนราธิวาสคล้ายๆ กับแกรนิตแนวตะวันตก กรมทรัพยากรธรณี (2559) ได้ประเมินปริมาณทรัพยากรดีบุกใน แนวนี้ว่าน่าจะมีประมาณ 3.31 ล้านตัน

(2) *แนวแร่สงขลา-ยะลา* ส่วนใหญ่ เป็นแนวแร่ปฐมภูมิที่สัมพันธ์กับหินแกรนิตไบโอ ไทต์-มัสโคไวต์ ซึ่งกำหนดอายุประมาณยุค จูแรสซิก โดยสินแร่ดีบุกเกิดในสายแร่ควอตซ์ และ อยู่ในสายเพกมาไทต์-แอฟไลต์และสายแร่ ดีบุกไกรเซน (tin greisens) ซึ่งเกิดร่วมกับเพื่อน แร่อื่น ๆ เช่น ทัวร์มาลีนและไฟไรต์ แต่ส่วนใหญ่ แหล่งดีบุกที่สำคัญมักสะสมตัวแบบทุติยภูมิ โดยมีแหล่งแร่ที่สำคัญในอดีต ได้แก่ (ก) *แหล่งวังพาท* ทางตะวันตกของ อ. หาดใหญ่ พบวุลแฟรมเป็นส่วนใหญ่และดีบุกรองลงมา, (ข) *แหล่งทุ่งโพธิ์-ทุ่งขมิ้น* (อ.นาหม่อม จ.สงขลา), สำหรับแถบจังหวัดยะลาโดยเฉพาะ (ค) *กลุ่มเหมืองปิ่นเยาะ* ที่ ต.ถ้ำทะลุ อ.บันนังสตา (เช่น แหล่งถ้ำทะลุ, ลาโบ, และยูโร-ไทย) โดยหินแกรนิตฮอร์นเบลนด์-ไบโอไทต์แทรกดัน หินปูนที่สลับกับหินดินดานอายุเพอร์เมียน และ ทำให้เกิดเขตแปรสภาพที่ห่างจากขอบหินแกรนิต

ถึง 50 เมตร และพบแร่ดีบุกที่ส่วนใหญ่เป็น มาลายาไอต์ [malayaite-CaSnO(SiO<sub>4</sub>), ดู Charusiri และ Charusiri, 1990] เกิดทั่วไป ร่วมกับกาสินา, ไฟไรต์, คาลโคไฟไรต์, อาร์เซนไฟไรต์, และแมกนีไทต์ ที่ถ้ำทะลุ ตัวสินแร่สลายตัวกลายเป็นนกอสนาน (gossan) หรือสินแร่เกรอะกรัง และพบใน บริเวณขอบแปรสัมผัส (contact zone) ที่ เหมืองลาบู ต.บะแต อ.ยะหา จ.ยะลา แหล่งดีบุกประกอบด้วยสายแร่ดีบุก-ซัลไฟด์ ในแหล่งแร่แบบปฐมภูมิและแหล่งลานแร่ โดยดีบุกอยู่กับควอตซ์, อาร์เซนไฟไรต์, ไฟไรต์, กาสินาและสฟาเลอไรต์ ส่วนแหล่งแร่แปรสภาพ มักมีดีบุกเกิดร่วมกับแคลไซต์, เอพิโดต, ไฟไรต์, และอาร์เซนไฟไรต์ การกระจายตัวของแหล่ง ดีบุกเป็นแนวยาวไปจนถึง อ.เบตง จ.ยะลา แหล่งอัยเยอร์เวง ที่เป็นเหมืองฉืดตามหิน แกรนิตที่สัมผัสกับหินฟิลไลต์-ควอตซ์ ไซต์อายุไซลูเรียน-ดีโวเนียน และเคยผลิตดีบุก ได้เดือนละ 50 - 80 ตัน (ไพรัช สุทธากรณ์, 2543)

(3) *แนวแร่สุราษฎร์ธานี-สตูล* เป็น แนวแร่ที่เกิดอยู่ในบริเวณรอบและขอบแกรนิต เขาหลวง ซึ่งเป็นหินแกรนิตไบโอไทต์- มัสโคไวต์ ส่วนใหญ่ดีบุกเกิดอยู่ในสายไกรเซน และสายแร่ควอตซ์ นอกจากนั้นยังพบโทแพซ, ฟลูออไรต์, อะพาไทต์, และทัวร์มาลีนในสาย ไกรเซน ในอดีตแนวนี้พบแหล่งดีบุกมากมาย (Praditwan, 1988) แต่ปัจจุบันพบเห็นเป็นแค่ ร่องรอยการทำเหมืองเท่านั้น อย่างไรก็ตาม ธวัชชัย เชื้อเหล้าวานิช และคณะ (2558) ได้รายงานไว้ว่า พื้นที่แถบ อ.ไชยา จ.สุราษฎร์ธานี ต่อเลยไปจนถึง อ.พะโต๊ะ จ.ชุมพร น่าจะเป็น

แหล่งแร่ธาตุหายากที่สำคัญเนื่องจากพื้นที่ดังกล่าวเคยเป็นแหล่งดีบุกใหญ่มาก่อน แหล่งแร่ดีบุกที่สำคัญของแนวแร่นี้มี 7 แหล่ง ได้แก่

(ก) แหล่งลิซล (นครศรีธรรมราช) พบอยู่ทาง ตะวันออกเฉียงเหนือของเขาลวง มีรูปแบบการเกิดแหล่งแร่เป็นแบบแปรสัมผัส แทนที่ และแบบฝังปะในหินแกรนิตที่แทรกดัน หินปูนยุคเพอร์เมียน ซึ่งให้ดีบุกเม็ดยาวรี (ยาว 1-3 มม.) และเกิดร่วมกับ ทูรมาลี, การ์เน็ต, ซีไลต์ และไพไรต์ แหล่งดีบุกนี้ ต่อเลยไปทางใต้ ที่มีดีบุกเกิดในสายควอตซ์และไกรเซน (Pradidwan, 1988)

(ข) แหล่งท่าศาลา (นครศรีธรรมราช) ทางตะวันออกของเขาลวงมีทั้งที่เป็นแหล่งดีบุกปฐมภูมิ ซึ่งเป็นสายแร่ดีบุก-วุลแฟรม-ควอตซ์-อาร์ซิโนไพไรต์ โดยสายแร่นี้ตัดเข้าไปในหิน แกรนิตอีกทีและแหล่งลานแร่,

(ค) แหล่งร้อนทิบูลย์ (นครศรีธรรมราช) ถัดลงมา ทางใต้พบแหล่งแร่ดีบุก-วุลแฟรม-พลวง เกิดใน สายและกะเปาะ ไกรเซน, (ง) แหล่งฉวาง (นครศรีธรรมราช) ซึ่งดีบุกเกิดในสายแร่ควอตซ์-พลวง-วุลแฟรม และทางตะวันตกเฉียงเหนือ ของเทือกเขาลวง

(จ) แหล่งนาสาร (สุราษฎร์ธานี) ทางตะวันตกเฉียงใต้เขาลวง แหล่งแร่สการ์นที่พบดีบุกบริเวณใกล้รอยสัมผัส, สายไกรเซน, สายแร่ควอตซ์และในลานแร่ สำหรับแหล่งปฐมภูมิพบสายแร่ตัดเข้าไปในหินตะกอนเนื้อประสมและหินปูนที่เกิดสัมผัสกับหินแกรนิตเปลี่ยนสภาพ (altered granites)

(ฉ) แหล่งโชน (สุราษฎร์ธานี) จัดเป็นแหล่งดีบุกปฐมภูมิ โดยสายแร่เกิดแบบเพกมาไทต์-แอไพไรต์ ซับซ้อน (บางบริเวณ

หนาถึง 12-15 เมตร) ซึ่งเป็นผนัง หินแทรกไปตามชั้นฮอร์นเฟลส์ หินปูนที่สัมผัสกับหินแกรนิต แร่ดีบุกที่เหมือนนี้บางเม็ดมีเส้นผ่านศูนย์กลาง 5 มม. และเกิดร่วมกับแร่เพื่อน เช่นทัวร์มาลีน การ์เน็ต อะพาไทต์ และไพไรต์ (Praditwan, 1988), และ

(ช) แหล่งห้วยยอด (อ.ห้วยยอด จ.ตรัง) เป็นแหล่งดีบุกปฐมภูมิที่มีดีบุกเกิดในหินแกรนิตไบโอไทต์-มัสโคไวต์ ลักษณะแหล่งเป็นสายควอตซ์และสายเพกมาไทต์ รวมทั้งที่เกิดในหินแกรนิตซึ่งถูกแปรเปลี่ยน

### 5.3 เขตแร่แนวตะวันตก

แหล่งแร่แนวนี้มักเรียกว่า แนวดีบุกด้านตะวันตกของคาบสมุทรไทย (Western Tin-Belt) (ดู Garson และคณะ, 1975) จัดเป็นแนวดีบุกที่ยาวมากและวางตัวในแนวเหนือ-ใต้เหมือนแนวดีบุกแนวอื่นๆ กับแนวฝั่งทะเลด้านตะวันตกของคาบสมุทรไทย (Thailand Peninsula) ครอบคลุมพื้นที่ของจังหวัดภูเก็ต พังงา และระนอง ซึ่งนับว่าในอดีต เคยเป็นแนวแร่ใหญ่ที่สุดของไทยที่สำคัญ ได้แก่ (1) แนวดีบุกเกาะภูเก็ต Praditwan (1985), Charusiri (1989), และ Charusiri และคณะ (1991) ได้รายงานว่าหินแกรนิตภูเก็ต (Phuket Granite) ที่แทรกดันหินตะกอนนิรสถาน (diamictite) ของกลุ่มแก่งกระจาน มีความสัมพันธ์กับแนวแร่ดีบุกและธาตุหายาก (Sanematsu และคณะ, 2011) โดยเฉพาะหินแกรนิตช่วงหลัง (late-phase granite) ซึ่งส่วนใหญ่เป็นหินแกรนิตไบโอไทต์-มัสโคไวต์-

-ทิวร์มาสิน เพกมาไทต์ และแอไพโลต์ (Charu-siri, (1981) และ Suwimonprecha และคณะ (1993) เชื่อว่าหินแกรนิตสีจาง (leucocratic granite) เหล่านี้มักแสดงการเกิดสินแร่เกอร์อกรัง (gossan) หรือไกรเซน (greisenization) ที่แปรเปลี่ยนจากไบโอไทต์ และเฟลด์สปาร์ ไปเป็นควอตซ์ มัสโคไวต์ ทิวร์มาสิน เบริล และโทแพซ โดยการทำปฏิกิริยากับน้ำร้อนที่มีฟลูออรีนมาก และได้จัดแบ่งการเกิดแหล่งดีบุกเป็น 2 พวก คือปฐมภูมิและทุติยภูมิ ซึ่งในแหล่งปฐมภูมียังแบ่งย่อยออกเป็น 3 พวก ได้แก่

(ก) *หินแกรนิตให้ดีบุก* (tin-bearing granite) ซึ่งมักเกิดในส่วนยอดของหินแกรนิต (granite cupola) และประเมินว่ามีความสมบูรณ์ตั้งแต่ 0.05-0.5% SnO<sub>2</sub> โดยมีเพื่อนแร่ที่สำคัญของดีบุกคือ โมนาไซต์, อิลเมไนต์, ไททไนต์ (titanite), อิลมิโนรูไทล์ (ilmenorutile), และการ์เนต ทั้ง Praditwan (1985) และ Charusiri (1991) ได้สรุปว่าหินแกรนิต-อะดามัลโลอิด ไม่ทำให้เกิดเป็นแหล่งแร่ดีบุก

(ข) *หินแกรนิตสายร่างแห* (granitic stockwork) จากการศึกษากอง Praditwan (1985) ยังพบว่าแหล่งดีบุกทุติยภูมิมักมีต้นกำเนิดจากการผุพังสลายตัวของแกรนิตร่างแหที่อยู่บริเวณขอบของหินแกรนิตไบโอไทต์ ซึ่งบางครั้งอาจมีระยะแผ่กว้างถึง 2 กม. จากแนวสัมผัสกับหินดินดาน/หินฮอร์นเฟลส์ โดยมีแร่เพื่อนจำพวกจุลแฟรไมต์, ซีไลต์, ไพไรต์, อาร์เซนไพไรต์, ไททไนต์, โคลัมไบต์, อิลมิโนรูไทล์, และทิวร์มาสิน (Praditwan, 1985) และ

(ค) *เพกมาไทต์ และแอไพโลต์* ซึ่งบนเกาะ

ภูเก็ตพบแหล่งที่สำคัญคือ เพกมาไทต์ แร่ไมกา-ทิวร์มาสิน ซึ่งนอกจากประกอบด้วยแร่ควอตซ์ และแอลไบต์/โอลิโกเคลสแล้วยังพบแร่ มัสโคไวต์, ทิวร์มาสิน, การ์เนต, โดยมีเพื่อนแร่รองลงมาคือ ดีบุก อิลเมไนต์ และจุลแฟรไมต์ โดยเฉพาะแหล่ง อ.กระทุ้ง จ.ภูเก็ต และ เพกมาไทต์เลพิโดไลต์ ซึ่งมักประกอบด้วยควอตซ์, แอลไบต์, เลพิโดไลต์ และมีเพื่อนแร่ได้แก่ ทิวร์มาสิน, มัสโคไวต์, และดีบุก นอกจากนี้ยังพบซีโนไทม์, โมนาไซต์, เซอร์คอน, โทแพซ, การ์เนต (spessartite - -เสปสซาไทต์), เบริล, จุลแฟรไมต์, และ ไมโครไลต์ (microlite - สินแร่แทนทาลัม) (Suwimonprecha และคณะ, 1993)

ในปัจจุบัน ธาตุลิเทียม (Li) มีความสำคัญต่ออุตสาหกรรมผลิตแบตเตอรี่รถไฟฟ้า โดยสกัดจากแร่ไมกาที่เรียกเลพิโดไลต์ (lepidolite) ซึ่งนับว่าถูกที่สุด แหล่งลิเทียมที่สำคัญของไทยในปัจจุบันคือเหมืองเรืองเกียรติ-บางอีตุ้มจากการสำรวจของ บริษัท แพนเอเชีย เมตตอลส์ (Pan Asia Metals, 2023) ซึ่งเคยเป็นแหล่งเพกมาไทต์ลิเทียม (lepidolite pegmatite) ผลการสำรวจของ บริษัทเมื่อ พ.ศ. 2563 พบว่าความสมบูรณ์ของ Li<sub>2</sub>O สูงถึง 1.56% และบางแห่งมีปริมาณ เลพิโดไลต์ 25-45% ในสายเพกมาไทต์ ซึ่งแร่นี้ให้ Li<sub>2</sub>O อยู่ในช่วง 3.5-4.5% โดยแถบนี้เป็นบริเวณเหมืองเก่าที่มีความยาวต่อเนื่องกันเกือบ 10 กิโลเมตร ในแนวตะวันออกเฉียงเหนือ-ตะวันตกเฉียงใต้ขนานไปกับแนวรอยเลื่อนคลอง

มระยข้อมูลจากการเจาะสำรวจทำให้ทราบว่า แหล่งสายเพกมาไทต์ลิวเทียม อาจมีปริมาณ ทรพยากรอยู่ระหว่าง 8-14 ล้านตัน ณ ที่ความสมบูรณ์ลิวเทียมออกไซด์ร้อยละ 0.5-0.8 ยิ่งกว่านั้น ในรายงานของ Garson และคณะ (1975) พบว่าสายเพกมาไทต์ลิวเทียม ที่เหมืองนี้หนาถึง 25 เมตร ต่อขึ้นไปทางเหนือ ของเหมืองเรื่องเกียรติประมาณ 140 กม. ในเขตรอยเลื่อนระนอง โดยพบสายเพกมาไทต์ เลพิโดไลต์ (lepidolite pegmatite) อีกสาย ที่ทาง บริษัท แพนเอเชียเมตตอลส์ เรียก “Bang Now” ใน จ.ชุมพร โดยพบหินลอย (float rocks) จากสายเพกมาไทต์ ขนาดใหญ่ กว่าก้อนกรวด และได้วิเคราะห์ หาปริมาณพบว่ามี  $\text{Li}_2\text{O}$  อยู่ในช่วง 0.5-2.2% จากตัวอย่าง 5 ตัวอย่าง (เฉลี่ย 1.78%) และพบว่าตัวอย่างตะกอนท้องน้ำ พบ  $\text{Li}_2\text{O}$  0.22% และ 0.14%

แหล่งทุติยภูมิ ได้แก่ แหล่งตะกอน น้ำพา (alluvial deposits), แหล่งตะกอน เชนงเขา (colluvial deposits), และ แหล่งสะสม ตัวอยู่กับที่ (in situ หรือ residual deposits) ผลการสำรวจของคณะผู้เขียนพบว่า ดีบุกมักเกิดร่วมกับเพื่อนแร่อื่นๆ เรียงลำดับดังนี้ อิลเมไนต์, โมนาไซต์, รูไทล์ไนโอเบียม-แทนทาลัม (Nb-Ta rutile), ซีโนไทม์ และวูลแฟรมไต์ น่าสังเกตว่าวูลแฟรมไต์ ซึ่งพบมาก เป็นอันดับสองในแหล่งดีบุกปฐมภูมิกลับกลายเป็นแร่เพื่อนที่พบน้อยมากในแหล่งทุติยภูมิ ขณะที่ อิลเมไนต์ มักพบเป็นอันดับต้นๆ ในแหล่งแร่ทุติยภูมิส่วนแมกนีไทต์แทบไม่พบเลย

(2) แนวดีบุกพังงา-ตะกั่วป่า-ระนอง แนวแร่นี้มีลักษณะการเกิดดีบุกและธาตุหายาก

คล้ายกับแนวดีบุกภูเก็ต (ดู Imai และคณะ, 2012, ธวัชชัย เชื้อเหล่านิช และคณะ, 2556, ธวัชชัย เชื้อเหล่านิช และ ธนัช วัชรรัมย์, 2560) แนวย่อยระนองมักพบแร่ดินขาวที่เกิด ร่วมกับดีบุกด้วย แหล่งปฐมภูมิของแนวแร่นี้ ประกอบด้วยแหล่งดีบุกฝังประในหินแกรนิต, เพกมาไทต์ และสายควอตซ์ โดยมากพบเฉพาะ บริเวณยอดและขอบหินแกรนิต เช่นที่หาดส้มแป้น, บ้านบางนอน, และทุ่งคา จ. ระนอง, และอ.กะปง จ.พังงา ส่วนดีบุกในสายเพกมาไทต์มักพบตัดเข้าไปในหินกลุ่มแก่งกระจานพ ที่หาดส้มแป้น จ.ระนอง และพะโต๊ะ จ.ชุมพร อย่างไรก็ตาม แหล่งดีบุกหลายแหล่งยังเป็น แหล่งดินขาวคุณภาพดีที่เกิดการแปรเปลี่ยนหิน แกรนิตโดยเฉพาะบริเวณส่วนบนหรือยอด เนื่องจากการแปรเปลี่ยนด้วยอิทธิพลของก๊าซ (pneumatolytic alteration) โดยเฉพาะที่ ต.หาดส้มแป้น อ.เมือง จ.ระนอง นอกจากนั้น ยังพบที่ เขากระทะคว่า จ.พังงา ส่วนดีบุก ปฐมภูมิพบในสายควอตซ์มัก เกิดร่วมกับวูลแฟรมไต์ในบริเวณเขากระทะคว่า และเขานางหงส์ (ต.คึกคัก อ.ตะกั่วป่า จ.พังงา) และเหมืองหลัก แหลัก (ต.ปากทรง อ.พะโต๊ะ จ.ชุมพร) และเพื่อนแร่อื่นๆ มากมาย เช่น อิลเมไนต์ โมนาไซต์, รูไทล์, ไนโอเบียม-แทนทาลัม (Nb-Ta rutile), ซีโนไทม์ เป็นต้น (Pradidwan, 1986)

## 6. สรุป

หินแกรนิตในภาคใต้ส่วนใหญ่กระจาย ตัวในแนวเหนือ-ใต้ และแบ่งออกเป็น 3 แนว คือแนวตะวันตก แนวกลาง และแนวตะวันออก โดยแนวตะวันออกพบไม่มากนักทางใต้ สุดติดกับประเทศมาเลเซีย ส่วนแนวกลางและ

และแนวตะวันตกพบเป็นแนวยาวและมักประกอบด้วยหินแกรนิตไบโอไทต์ และหินแกรนิตไบโอไทต์-มัสโคไวต์ ตั้งแต่ยุคจูแรสซิกถึงครีเทเชียส ส่วนใหญ่เกิดจากการหลอมละลายบางส่วนจากหินตะกอนที่อะลูมิเนียมสูง ส่วนหินแกรนิตแนวตะวันออกมักเป็นพวกแกรนิตฮอร์นเบลนด์-ไบโอไทต์และหินแกรนิตไบโอไทต์ หินแกรนิตส่วนใหญ่ในพื้นที่ที่มีภูมิอายุประมาณยุคโทรแอสซิก และเกิดเป็นผลต่อเนื่องจากการมุดตัวของแผ่นสมุทรลงไปข้างใต้แผ่นทวีปอินโดจีน โดยสัมพันธ์กับแหล่งแร่ทองคำ-ทองแดง และแร่โครไมต์ ส่วนแกรนิตแนวกลางและแนวตะวันตกมักเกิดสัมพันธ์กับแหล่งแร่ดีบุก-ทั้งสะเตน-แร่ธาตุหายากส่วนใหญ่ที่ให้แร่ภูมิอายุประมาณยุคครีเทเชียส และมักให้ค่าความเข้มข้นแม่เหล็กต่ำกว่าและค่ากัมมันตรังสีรวมที่สูงกว่าแนวตะวันออก

### กิตติกรรมประกาศ

งานวิจัยนี้เป็นส่วนหนึ่งของโครงการกำเนิดแหล่งแร่และแผนที่การกำเนิดแหล่งแร่ของประเทศไทย (Project on Metallogeny and Metallogenic Map of Thailand) ที่สนับสนุนโดยกรมทรัพยากรธรณี คณะผู้เขียนขอขอบคุณกองทรัพยากรแร่ กรมทรัพยากรธรณี โดยเฉพาะ ผอ.กองทรัพยากรแร่ นางสาวกฤตยา ปัทมาลัย และผอ.ส่วนมาตรฐาน ดร.ธวัชชัย เชื้อเหล่าวานิช ที่ได้เอื้อเฟื้อข้อมูลธรณีวิทยาและสนับสนุนงบประมาณการสำรวจและการวิจัยในครั้งนี้ และขอขอบคุณนักธรณีวิทยาและพนักงาน - เจ้าหน้าที่กองทรัพยากรแร่ทุกคน โดยเฉพาะ นางสาวณัฐริกา หนีสา, นางสาวกานต์ พิชชา พุฒศิริ,

และนางสาวพิมพ์ลภัส เจริญใจ ที่ช่วยเหลือและจัดหาข้อมูลด้านธรณีวิทยาแหล่งแร่รวมถึงเศรษฐกิจธรณีวิทยาของภาคใต้

### เอกสารอ้างอิง

- ธวัชชัย พังศรีคม (2527) ธรณีวิทยาแหล่งแร่ดีบุกบริเวณทุ่งโพธิ์-ทุ่งขม้น ถึงอำเภอหนองหม่อม จังหวัดสงขลา. รายงานภาควิชาวิศวกรรมเหมืองแร่ คณะวิศวกรรมศาสตร์ มหาวิทยาลัยสงขลานครินทร์, 68 หน้า.
- ธวัชชัย เชื้อเหล่าวานิช และ ธนัช วัชรมัย (2560) ศักยภาพทรัพยากรธาตุหายากจากพื้นที่หินแกรนิต จังหวัดระนอง. กรุงเทพฯ: สำนักทรัพยากรแร่ กรมทรัพยากรธรณี, 64 หน้า. สืบค้นจาก <http://library.dmr.go.th/elib/cgi-bin/opacexe.exe?op=mmvw&db=Main&skin=s&mmid=13434&bid=40362> (เมื่อวันที่ 1 พค 2566)
- ธวัชชัย เชื้อเหล่าวานิช, ธนัช วัชรมัย, และฐิติวรา อินศรี (2556) งานสำรวจและประเมินศักยภาพทรัพยากรแร่ชั้นรายละเอียด แร่หนัก ธาตุหายาก จังหวัดระนอง. กรุงเทพฯ: สำนักทรัพยากรแร่ กรมทรัพยากรธรณี, 84 หน้า. สืบค้นจาก [https://www.dmr.go.th/wp-content/uploads/2022/10/article\\_20200910160243.pdf](https://www.dmr.go.th/wp-content/uploads/2022/10/article_20200910160243.pdf). (เมื่อวันที่ 7 พค 2566)
- ธวัชชัย เชื้อเหล่าวานิช, ธนัช วัชรมัย, และ สมคิด ไชยชนะ (2558) การสำรวจและประเมินศักยภาพทรัพยากรแร่ชั้นรายละเอียดแร่หนัก - ธาตุหายาก จังหวัดชุมพร - สุราษฎร์ธานี. กรุงเทพฯ: สำนักทรัพยากรแร่ กรมทรัพยากรธรณี, 95 หน้า. สืบค้นจาก <http://library.dmr.go.th/elib/cgi-bin/opacexe.exe?op=mmvw&db=Main&skin=s&mmid=5033&bid=30101> (เมื่อวันที่ 10 มีค 2566)
- ปัญญา จารุศิริ, เอียร์พันธ์ อำไพพรรณ, Ken-ichiro Hisada, กิตติ ขาววิเศษ (2545) วัฒนนาการธรณีแปรสัณฐานของประเทศไทย. วารสารวิจัยวิทยาศาสตร์ (Section T) ปีที่ 1 ฉบับที่ 1 มกราคม - เมษายน 2545, 1-21.
- นราเมศวร์ ชีระรังสิกุล (2517) การจัดการข้อมูลธรณีวิทยาและทรัพยากรธรณีภายใต้โครงการร่วมสำรวจธรณีวิทยาตามแนวชายแดนมาเลเซีย-ไทยโดยใช้ตัวแบบ Big Data: กรณีศึกษาชุดหินแกรนิตกับแหล่งแร่ดีบุก. รายงานการศึกษาส่วนบุคคล หลักสูตรนักบริหารการทูต รุ่นที่ 6 ปี 2557, สถาบันการต่างประเทศเทวะวงศ์วโรปการ กระทรวงการต่างประเทศ, 93 หน้า.

- ไพรัช ศุภธารณ (2543) *ธรณีวิทยาแหล่งดีบุกและแหล่งแร่หายากในบริเวณภาคใต้ประเทศไทย*. ฝ่ายสำรวจแร่ดีบุกและแร่พลอยใต้ กองเศรษฐธรณีวิทยา กรมทรัพยากรธรณี. เอกสารเผยแพร่เศรษฐธรณีวิทยา 6/2543, 227 หน้า. สืบค้นได้จาก <http://library.dmr.go.th/elib/cgi-bin/opacexe.exe?op=mmvw&db=Main&skin=s&mid=4401&bid=1776> (เมื่อ 12 ธันวาคม 2565).
- ไพยม อรัณยกานนท์ (2512) การเกิดดินขาวในเทือกหินแกรนิต โดยกรรมวิธีของก๊าซต่างๆ, *ข่าวสารการธรณี* 14 (2), 6-10.
- วรกิจ ขาวจันทร์ และ สันติ ลีวงศ์เจริญ (2549) *ธรณีวิทยาระวางเกาะสมุย 4927 I และระวางอำเภอเกาะสมุย 4928 II*, สำนักธรณีวิทยา, กรมทรัพยากรธรณี, 61 หน้า.
- อำนาจ สงอุไรล้ำ (2559 ก) *บทที่ 3 ธรณีวิทยา, การจำแนกเขตเพื่อการจัดการด้านธรณีวิทยาและทรัพยากรธรณีจังหวัดยะลา*, สำนักงานทรัพยากรธรณี เขต 4 (สุราษฎร์ธานี) กรมทรัพยากรธรณี หน้า 9 - 23. สืบค้นได้จาก <https://www.dmr.go.th/wp-content/uploads/2022/11/การจำแนกเขตเพื่อการจัดการด้านธรณีวิทยาและทรัพยากรธรณีจังหวัดยะลา.pdf>. (เมื่อ 12 ธันวาคม 2565).
- อำนาจ สงอุไรล้ำ (2559 ข) *บทที่ 3 ธรณีวิทยา, การจำแนกเขตเพื่อการจัดการด้านธรณีวิทยาและทรัพยากรธรณีจังหวัดนราธิวาส*, สำนักงานทรัพยากรธรณี เขต 4 (สุราษฎร์ธานี) กรมทรัพยากรธรณี หน้า 9 - 24. สืบค้นได้จาก <https://www.dmr.go.th/wp-content/uploads/2022/11/การจำแนกเขตเพื่อการจัดการด้านธรณีวิทยาและทรัพยากรธรณีจังหวัดนราธิวาส.pdf>. (เมื่อ 12 ธันวาคม 2565).
- อำนาจ สงอุไรล้ำ (2559 ค) *บทที่ 3 ธรณีวิทยา, การจำแนกเขตเพื่อการจัดการด้านธรณีวิทยาและทรัพยากรธรณี จังหวัดปัตตานี*, สำนักงานทรัพยากรธรณี เขต 4 (สุราษฎร์ธานี) กรมทรัพยากรธรณี, หน้า 9 - 18. สืบค้นได้จาก <https://www.dmr.go.th/wp-content/uploads/2022/11/การจำแนกเขตเพื่อการจัดการด้านธรณีวิทยาและทรัพยากรธรณีจังหวัดปัตตานี.pdf> (เมื่อ 12 ธันวาคม 2565).
- Aranyakanon, P. (1962). *The cassiterite deposit of Haad Som Pan, Ranong Province, Thailand*: Royal Department of Mines. Report of Investigation No. 4.
- Aranyakanon, P. (1969) Tin deposits in Thailand. In *Proceedings of the 2nd Technical Conference on Tin*. Tin International Tin Council, Bangkok.
- Asnachinda, P. (1978) Tin mineralization in Burmese – Malayan peninsula- a plate tectonic model. In *Proceedings of the 3rd Regional Conference on Geology and Mineral Resources of Southeast Asia*, edited by P. Nutalaya (ed. in chief), November 1978, pp 193-199.
- Beckinsale, R. D., Suensilpong, S., Nakapadungrat, S., and Walsh, J. N. (1979) Geochronology of granite magmatism in Thailand in relation to a plate tectonic model. *Journal of the Geological Society*, London 136, 529–540.
- Bignell, J.D. (1972) *The Geochronology of the Malayan Granites*. Unpublished Ph.D. Thesis, University of Oxford, 154 p.
- Bignell, J.D. and Snelling, N. J. (1977) *The Geochronology of Malayan Granites. Overseas Geology and Mineral Resources* 47, 1–2.
- Bunopas, S. (1981) *Paleogeographic history of western Thailand and adjacent parts of Southeast Asia – A plate tectonics interpretation*: Victoria University of Wellington, unpublished Ph.D. thesis, 810 p.; reprinted 1982 as Geological Survey Paper no.5, Geological Survey Division, Department of Mineral Resources, Thailand.
- Bunopas, S. and Vella, P. (1978) Late Palerozoic and Mesozoic structural evolution of Thailand. In *Proceedings of the 3rd Regional Conference on Geology and Mineral Resources of Southeast Asia*, edited by P. Nutalaya (ed. in chief), November 1978, pp 25-32.
- Burton, C.K. and Bignell, J.D. (1969) Cretaceous-Tertiary events in Thailand. *Geological Society of America Bulletin* 80, 681-688.
- Charusiri, P. (1980) *Igneous Complexes and Tin Mineralization in Phuket Island, with Special References to Chao Fa and Tor Soong mines*. Unpublished M.Sc. thesis, Department of Geology, Chulalongkorn University, Bangkok, 208 p.

- Charusiri, P. (1989) *Lithophile Metallogenic Epochs of Thailand: A Geological and Geochronological Investigation*. Ph. D. thesis, Department of Geological Sciences, Queen's University, Kingston, 819 p.
- Charusiri, B. and Charusiri, P. (1990) Geology and Sn mineralization at Pinyok mine, Yala, southern Thailand. In *Proceedings of the Technical Conference on Development Geology for Thailand into the Year 2000*, Chulalongkorn University, Bangkok, pp 169-189.
- Charusiri, P., Pongsapich, W., Daolerk, V., Khantaprab, C. (1992a) Granite Belts in Thailand: Evidence from 40 Ar/39Ar geochronological and isotopic analyses. *Journal of Science Research*, Chulalongkorn University 17(2), 99-116.
- Charusiri, P., Pongsapich, W., Daolerk, V., and Charusiri, B. (1992b) Anatomy of Chanthaburi granitoids: geochronology, petrochemistry, tectonics, and associated mineralization. In *Proceedings of the National Conference on Geologic Resources of Thailand: Potential and Future Development*. Department of Natural Resources, Bangkok, Thailand, 17-24 November 1992, 383-392.
- Charusiri, P., Clark, A. H., Farrar, E., Archibald, D., and Charusiri, B. (1993). Granite belts in Thailand: evidence from the <sup>40</sup>Ar/<sup>39</sup>Ar geochronological and geological syntheses. *Journal of Southeast Asian Earth Sciences* 8, 127-136.
- Chappel, B.W. and White, A.J.R. (1974) Two contrasting granite types. *Pacific Geology* 8, 173-194.
- Ishihara, S., Shibata, S. Sawata, S, Terashima, S., Arykul, S., Sato, K. (1980) Granites and Sn-W deposits of peninsular Thailand. *Mining Geology*, Special Issue, 223 - 241.
- Coobing, E.J. (2011) Granitic Rocks. In Ridd, M.F., Barber, A.J., and Crow, M.J. (editors), *The Geology of Thailand*, The Geological Society, London, pp 441-457.
- Coobing, E.J., Pitfield, P.E.J., Mallick, D.I.J., Toeh, L.H. (1986) The granites of Southeast Asian tin belts. *Journal of the Geological Society, London*, 128, 421-460.
- Coobing, E.J., Pitfield, E.P.J., Darbyshire, D.P.G., Mallick, D.I.J. (1992) *The granites of Southeast Asian Tin Belt*, Oversea Memoirs of the British Geological Survey, 10.
- Crow, M. J. and Khin Zaw (2011) Metalliferous mineral. In Ridd, M.F., Barber, A.j., and Crow, M.J. (editors), *The Geology of Thailand*, The Geological Society, London, 459-486.
- Darbyshire, D.P.G. (1988) *Southeast Asian Granite Project. Geochronology of Thai Granites*. Report of the Isotope Geology Centre. Natural Environmental Research Council 88/5.
- Garson, M.S., Young, B., Mitchell, A.H.G., and Tait, B.A.R. (1975) *The Geology of the Tin Belt in Peninsular Thailand around Phuket, Phangnga and Takua Pa*: Overseas Memoir No. 1, Institute of the Geological Sciences, London, U.K., Oversea Memoirs 1.
- Ghani, A.A. (2000) The Western Belt granite of Peninsular Malaysia: Some emergent problems on granite classification and its implication: *Geosciences Journal* 4, 283-293, doi: 10 .1007 /BF02914037.
- Ghani, A.A. (2009) Plutonism, in Hutchison, C.S., and Tan, D.N.-K., eds., *Geology of Peninsular Malaysia*. Kuala Lumpur, University of Malaya, Geological Society of Malaysia, p. 211-232
- Ghani, A.A., Searle, M.P., Robb, L.J., and Chung, S.-L. (2013) Transitional I-S type characteristic in the Main Range Granite, Peninsular Malaysia. *Journal of Asian Earth Sciences* 76, 225-240, doi:10.1016/j.jseas.2013.05.013.
- Ghani, A., Hazad, F.I., Jamil, A., Xiang, Q.L., Ismail, W.N.A.W., Chung, S.L., Lai, Y. M., Roselee, M.H., Islami, N., Nyein, K.K., Hassan, M.H.A., Bakar, M.F.A., and Mohd Rozi Umor, M.R. (2014) Permian ultrafelsic A-type granite from Besar Islands group, Johor, peninsular Malaysia. *Journal of Earth System Science* 123 (8), 1857-1878.

- Hansen, B. and Wemmer, K. (2011) Age and Metamorphic Evolution of the Basement Rocks in Thailand. In Ridd M.F., Barber A.J., Crow M.J (eds). *The Geology of Thailand*. The Geological Society, pp 19-32.
- Hosking, K.F.G (1970) Primary tin deposits of Southeast Asia. *Minerals, Science, and Engineering* 2, 24-50.
- Hutchison, C.S. (1977) Granite emplacement and tectonic subdivision of Peninsular Malaysia. *Geological Society of Malaysia Bulletin* 9, 187–207.
- Hutchison, C.S. and Taylor, D. (1978) Metallogenesis in Southeast Asia. *Journal of the Geological Society*, London 135, 407-428.
- Imai, A., Yonezu, K., Sanematsu, K., Ikuno, T., Ishida, S., Watanabe, K., Pisutha-Armond, V., Nakapadungrat, S., and Boosayasak, J. (2012) Rare Earth Elements in Hydrothermally Altered Granitic Rocks in the Ranong and Takua Pa Tin-Field, Southern Thailand
- Ishihara, S. (1977) The magnetite-series and ilmenite-series granitic rocks, *Mining Geology (Japan)* 27, 293-305.
- Ishihara, S., Sawata, H., Shibata, K., Terashima, S., Araykul, S., and Sata, K. (1980) Granites and Sn-W deposits of peninsular Thailand: *Mining Geology, Spec. Issue* 8, 223-241, Japan.
- Ishihara, S., Moriyama, T. and Hirano, H. (2008) REE-rich granites of Ko Samui, Ko Phuket and Yod Nam Mine in Southern Thailand. In Proceedings of the International Symposium on Geoscience Resources and Environments of Asian Terranes (GREAT 2008), the 4th IGCP 516, and the 5th APSEG Meeting. Bangkok, Thailand, 24–26 November 2008, 238–247.
- Jacobson, H.S., Pierson, C.T. และคณะ (1969) Mineral Investigation of northeastern Thailand. United States Geological Survey 618.
- Kawakami, T., Osanai, Y., Nakano, N., Miyamaoto, T., Yonemura, K., and Charusiri, P. (2008) Upper amphibolite to lower granulite facies metamorphic rocks of western (Khao Chao) range, eastern Thailand. In Choowong, M. and Thitimakorn, T., Proceedings of the International Symposia on Geoscience, Resources, and Environments of Asean Terranes (GREAT 2008), Bangkok, pp 251-253.
- Kawakami, T., Nakano, N., Higashino, F., Hokada, T., Osanai, Y., Yuhara, M., Charusiri, P., and Kamikubo, H. (2014) U-Pb zircon and CHIME monazite dating of granitoids and high - grade metamorphic rocks from the eastern and peninsular Thailand – A new report of Early Paleozoic granite. *Lithos* 200-201 (2014), 64-79.
- Kanjanapayont, P., Grasemann, B., Edwards, M.A., Fritz, H. (2012a) Quantitative kinematic analysis within the Khlong Marui shear zone, southern Thailand. *Journal of Structural Geology* 35, 17–27.
- Kanjanapayont, P., Klötzli, U., Thöni, M., Grasemann, B., Edwards, M.A. (2012b) Rb–Sr, Sm–Nd, and U–Pb geochronology of the rocks within the Khlong Marui shear zone, southern Thailand. *Journal of Asian Earth Sciences* 56, 263–275.
- Kanjanapayont, P., Kiedupattum, P., Klötzli, U., Klötzli, E., Charusiri, P. (2013) Deformation history and U–Pb zircon geochronology of the high-grade metamorphic rocks within the Klaeng fault zone, eastern Thailand. *Journal of Asian Earth Sciences* 77, 224-233.
- Lin, Y.L., Yeh, M.W., Lee, T.Y., Chung, S.L., Iisuka, Y., Charusiri, P. (2013) First evidence of the Cambrian basement in upper peninsula of Thailand and its implication for crustal and tectonic evolution of the Sibumasu terrane. *Gondwana Research* 24 (3–4), 1031-1037. <https://doi.org/10.1016/j.gr.2013.05.014>.
- Metcalfe, I. 2002. Permian tectonic framework and palaeogeography of SE Asia. *Journal of Asian Earth Sciences* 20, 551–566. [https://doi.org/10.1016/S1367-9120\(02\)00022-6](https://doi.org/10.1016/S1367-9120(02)00022-6).
- Muenlek, S., Meesook, A., Tongchit, P., Tipdhonsap, C., and Skullkaew, P. (1985) *Geological map of Chagwat Narathiwat and Amphoe Takbai (NB47-*

- 8, 5), scale 1:250,000: Department of Mineral Resources, Bangkok, Thailand.
- Nakapadungrat, S. (1982) *The Geochronology and Geochemistry of the Thong Lang Granite Complex, Central Thailand*. Unpublished Ph.D. thesis, University of London, U.K.
- Ng, S. W. P., Chung, S. L., Robb, L. J., Searle, M. P., Ghani, A. A., Whitehouse, M. J., Oliver, G. J. H., Sone, M., Gardiner, N. J., & Roselee, M. H. (2015). Petrogenesis of Malaysian granitoids in the Southeast Asian tin belt: Part 1. Geochemical and Sr-Nd isotopic characteristics. *Geological Society of America Bulletin*, 127(9-10), 1209-1237. <https://doi.org/10.1130/B31213.1>.
- Pan Asia Metals (2023) Pan Asia Metals reports lithium recoveries past 80% at Reung Kiet Project, Thailand. Available at <https://mining.com.au/pan-asia-metals-reports-lithium-recoveries-past-80-at-reung-kiet-lithium-project/> (on 3 May 2023)
- Park, A.F. (1989) *Granites and mineralization*. In: Petrology. Encyclopedia of Earth Science. Springer, Boston, MA.
- Pitfield, P. E. J. (1988) *Report on the geochemistry of the granites of Thailand*. Report of the Overseas Directorate, British Geological Survey WC/88/6.
- Pitakpaivan, K. (1969) Tin-bearing granite and tin-barren granite in Thailand. In *Proceedings of the 2nd. Technical Conference on Tin*, Tin Council, v.1, p. 283-298.
- Pradidwan, J. (1985) *Mineral distribution study for cassiterite and associated heavy minerals in Phuket Thailand*. Southeast Asia Research and Development Centre, Ipoh, Malaysia 71 p.
- Pradidwan, J. (1986) *Mineral distribution study for cassiterite and associated heavy minerals in Ranong, Takua Pa and Phang Nga, Thailand*. Southeast Asia Research and Development Centre, Ipoh, Malaysia 89 p.
- Pradidwan, J. (1988) *Mineral distribution study for cassiterite and associated heavy minerals in Surat Thani, Nakhon Si Thammarat, Trang, and Yala Provinces, southern Thailand*. Southeast Asia Research and Development Centre, Ipoh, Malaysia 40 p.
- Punyaprasidh, P. (1980) *Investigation of the geology and mineralization of tin and tungsten of Samoeng mine area, northern Thailand*. Unpublished Ph. D. thesis, University of Sheffield, U.K., 130 p.
- Putthapiban, P. (1984) *Geochemistry, Geochronology, and Tin Mineralization of Phuket Granites, Phuket, Thailand*. Unpublished Ph.D. thesis, La Trobe University, Victoria, Australia.
- Putthapiban, P. and Suensilpong, S. (1979) *The Igneous Geology of Granitic Rocks of Hub Kapong and Hua Hin Areas -Granite Project*. Department of Mineral Resources, Bangkok, 6, 1-15.
- Putthapiban, P. (2002) Geology and geochronology of igneous rocks of Thailand. In *Proceedings of the Symposium on Geology of Thailand*, Bangkok, 26 – August 2002, 261-283.
- Sanematsu, K., Kon, Y., Imai, A., Watanabe, K. and Watanabe, Y. (2011) Geochemical and mineralogical characteristics of ion-adsorption type REE mineralization in Phuket, Thailand. *Miner Deposita* 48, 437–451 DOI 10.1007/s00126-011-0380-5.
- Schwartz, M.O., Rajah, S.S., Askury, A.K. ‘, Putthapiban, P., Djaswadi, S. (1995) The Southeast Asian Tin Belt. *Earth-Science Reviews* 38, 95-293.
- Shawe, D.R. (1984) *Geology and mineral deposits of Thailand*. Open-file Report 84-403 U.S. Geological Survey, 190 p.
- Suensilpong, S. (1977) The role of plate collision tin mineralization of Thailand. In *Proceedings of the International Symposium on Plutonism in Relation to Volcanism and Metamorphism*. Under the theme Circum Pacific Plutonism Terrane (CPPP), Japan, 15 p.

Sritangsirikul, P. (2023) Geochemistry and petrochemistry of ore related magmatism of mainland Southeast Asia. Ph. D. thesis, University of Tasmania, Hobart (in preparation).

Suwimonprecha, P., Friedrich, G., and Cerny, P. (1993) Contact relationships between the Phuket pegmatites and host rocks, Thailand. *Journal of Southeast Asian Earth Sciences* 8, 137–145.

Tegging, D.E. (1975) *The Granites of Northern Thailand*. Unpublished Ph. D. thesis, University of Manchester, Manchester, United Kingdom.

Tulyatid, J. (1991) *<sup>40</sup>Ar/<sup>39</sup>Ar Geochronological Study of Deformed Meta-granitoid Rocks Adjacent to the Hua-Hin Pranburi Fault System, Peninsular Thailand*: M. Sc. Thesis, Queen's University, Kingston, 151 p.